

مقاله پژوهشی

کانه‌زایی، شیمی کانه‌ها و ایزوتوپ‌های پایدار گوگرد در ان迪س طلای چالداع (شمال تکاب): شواهدی برای دستیابی به سازوکار تشکیل طلا

رؤیا بیگدلی، ابراهیم طالع‌فاضل* و محمد معانی جو

گروه زمین‌شناسی، دانشکده علوم، دانشگاه بوعلی سینا، همدان، ایران

دریافت مقاله: ۱۳۹۸/۰۷/۲۰، پذیرش: ۱۳۹۹/۰۳/۲۷

چکیده

منطقه اکشافی چالداع با عیار متوسط ۴/۵ گرم در تن به عنوان یکی از ان迪س‌های پر عیار کانسار زرشوران، در شمال تکاب واقع شده است. از لحاظ ساختاری این منطقه در غرب گسل رانده قنجه و طاقدیس ایمان خان (راستای NW) قرار دارد و واحد کربنات آهن‌دار چالداع به سن نئوپرتوزوئیک-کامبرین بالایی، سنگ میزان اصلی کانه‌زایی است. طبق شواهد ریز کاوالکترونی، طلا به صورت محلول جامد با کاتیون Au^+ و محتوای ۱۰ تا ۸۰ گرم در تن (ppm) در ترکیب کانه آرسنین پیریت با فرمول $(\text{Fe}^{2+}\text{As}^{3+})_{\text{S}_2\text{Au}_2\text{S}^0}$ تمرکز دارد. شواهد ایزوتوپ پایدار گوگرد بر روی کانه‌های سولفیدی رالگار و پیریت گویای مقادیر $\delta^{34}\text{S}_{\text{CDT}}$ بین ۳/۵ تا ۶/۵ ‰ (متوسط ۵% در تعداد ۶ نمونه)، است. با توجه به مقادیر FeS mol% اسفالریت، تغییرات Log/S_2 در ان迪س چالداع بین ۱۶-۱۴-به دست آمد که منطبق با شرایط سولفیداسیون متوسط است. طبق شواهد به نظر می‌رسد در ان迪س طلای چالداع، سیال گرمابی غنی از H_2S هم‌زمان با فرایند کربنات‌زدایی و آزادشدن مقادیر بالای Fe^{2+} و As^{3+} در محیط، با این کاتیون‌ها واکنش داده و آرسنین پیریت تشکیل شده است. در پی این فرایند، ضمن کاهش محتوای H_2S محیط، کمپلکس‌های بسی سولفیدی $\text{Au}(\text{HS})_2^-$ تحت شرایط خشی تا اسیدی و ماهیت اکسیدی محیط نایابدار شده و به دنبال آن تهنشینی طلا رخداده است.

واژه‌های کلیدی: آرسنین پیریت، شیمی کانه، ایزوتوپ گوگرد، طلا، ان迪س چالداع، زرشوران

مقدمه

کارلین اغلب در کانه‌های سولفیدی آهن (آرسنیک) نظیر کانسارهای طلا با میزان سنگ رسوبی مهمن ترین تولید کننده‌های طلا در دنیا هستند (Tassara et al., 2017). تمرکز طلا در ترکیب پوسته قاره‌ای حدود ۲/۵ ppb است (Wedepohl, 1995) که برای تشکیل یک ذخیره با عیار حد قابل استخراج، این میزان دست کم باید هزار برابر شود. تمرکز طلا در کانسارهای طلای نامرئی با میزان رسوبی نظیر نوع

آرسنین پیریت و آرسن‌پیریت رخ می‌دهد (Wu et al., 2019).

ویژگی‌های فیزیکو‌شیمی سیال کانه‌زا نظیر میزان دما-شوری، شرایط اکسیداسیون-احیا، غلظت H_2S , درصد مولی CO_2 , میزان pH و ماهیت سنگ میزان، مهم‌ترین کنترل کننده‌های تمرکز طلا در این ذخایر هستند (Kusebauch et al., 2019b).

NNW و جهت راندگی به سمت غرب به دو بخش لیتوکتونیک شرقی (بلوک بالا‌آمده انگوران) و غربی (حوضه فروافتاده تکاب یا شیرمرد) تقسیک می‌شود (Babakhani and Qalamqash, 1997). این پدیده مورفوکتونیکی مهم که هم راستا با روند NW-SE کوهزاد زاگرس به وقوع پیوسته است، با ایجاد یک اختلاف ارتفاع ۱۰۰۰ متری میان این دو بخش، شرایط اقلیمی، زمین‌شناسی و فلززایی مختلفی در هریک از این بخش‌ها حاکم کرده است (Daliran, 2008). قدیمی‌ترین سنگ‌های منطقه با سن نوپر و تروزوئیک-کامبرین شامل بازالت‌های بالشی دگرگون شده، سرتین شیست، گنیس، سریسیت-کلریت-اپیدوت شیست و بیوتیت شیست با میان‌لایه‌های کوارتزیت (در بالایی ترین بخش توالی) بوده که سنگ بستر منطقه را تشکیل می‌دهد و آن را معادل سازند (Babakhani and Qalamqash, 1997). کهر در نظر می‌گیرند (Hamdi, 1995). با توجه به بررسی سن‌سنجه نقطه‌ای SHRIMP (شکل ۱) بروی این سنگ‌ها زیرکن در بازالت‌های بالشی، سن معادل ۵۱۱ میلیون سال (کامبرین زیرین) برای آنها به دست آمد (Daliran, 2008). بروی این سنگ بستر دگرگونی، یک واحد ستبر مرمر و دولومیت خاکستری با لایه‌بندی متوسط تا ضخیم قرار می‌گیرد که ارتفاعات منطقه را تشکیل می‌دهد. این واحد سنگی در بلوک تکاب به نام مرمر انگوران و در حوضه تکاب به نام مرمر جانگو تاران شناخته می‌شود. با استفاده از بررسی میکروفسیل‌های گیاهی و شناسایی گونه *Siphogonuchites triangularis* در واحد مرمری، سن نسبی نوپر و تروزوئیک-کامبرین زیرین برای آن به دست آمد (Nabavi, 1976). پس از تشکیل این واحد، رژیم زمین ساخت منطقه به صورت کششی عمل کرده و بر اثر آن بلوک انگوران به صورت یک سامانه هورست (بالا‌آمدگی) و حوضه تکاب به صورت گراین (فروافتادگی) درآمده است. در نتیجه این پدیده، نهشته‌های ضخیم لایه‌های رسوبی-آتشفسانی به ترتیب شامل کنگلومرا، ماسه‌سنگ و آندزیت (معادل سازند کرج) طی اثوسن، سنگ‌های مارن و توف (سازند قرمز زیرین)، آهک‌های ریفی (سازند قم) و ماسه‌سنگ و افق‌های تبخیری (سازند قرمز بالایی) طی نشوژن، تشکیل شدند. پس از آن، در اثر فرسایش شدید بلوک انگوران ناشی از بالا‌آمدگی، رسوبات سخت نشده گراول و کنگلومرا به ویژه در مرز حوضه تکاب با گسل قیزجه نهشته شده است (شکل ۱). در نهایت،

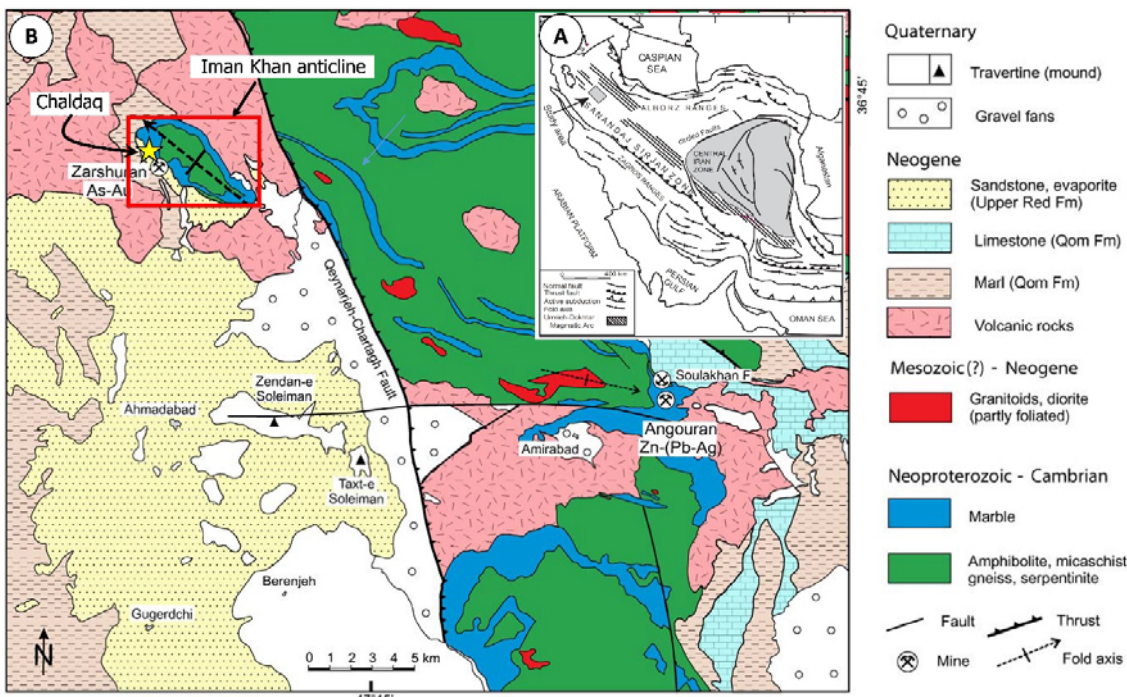
به عنوان یک ذخیره طلای پراکنده با میزان سنگ رسوبی، در سنگ‌های شیل، سیلتستون و آهک به سن پرکامبرین رخداده است (Mehrabi et al., 1999). بر اساس اکتشافات تفصیلی و حفاری‌های طلا برای کانسالرز رشوران گزارش شده است (Kavoshgaran Consultant Engineering, 2013). همچنین، بر مبنای این بررسی‌ها در یال‌های شرقی و غربی طاقدیس ایمان‌خان که معدن زرشوران در آن قرار گرفته، تعداد ۶ اندیس/ذخیره طلا شناسایی و تعیین محدوده اکتشافی شده که اندیس طلا چالداغ با عیار طلا متوسط ۴/۵ گرم در تن (ppm) به عنوان مهم‌ترین منطقه امیدبخش Kavoshgaran Consultant معرفی شده است (Engineering, 2013). بررسی‌های کانی‌شناسی و زمین‌شیمیایی کانه‌های سولفیدی نقشی مهم در بررسی نحوه رخداد طلا و دستیابی به الگوهای پی‌جوبی مناسب آن در تدوین برنامه‌ریزی‌های اکتشافی در یک محدوده مورد پی‌جوبی خواهد داشت که در این پژوهش به آن پرداخته شده است. همچنین با استفاده از سیستماتیک‌های ایزوتوپ پایدار گوگرد به بررسی خاستگاه گوگرد و شرایط تشکیل آن در اندیس طلا چالداغ پرداخته شده است.

زمین‌شناسی میدان معدنی تکاب-انگوران

منطقه مورد بررسی در غرب گسل اصلی تکاب (یا گسل راند) قیزجه و همچنین یال‌غربی طاقدیس ایمان‌خان واقع شده است (شکل ۱). این منطقه از دیدگاه تقسیم‌بندی‌های ساختاری ایران توسط نبوی (Nabavi, 1976) در پهنه البرز غربی-آذربایجان و از دیدگاه فلززایی-گرمابی توسط دلیران (Daliran, 2008) در میدان معدنی تکاب-انگوران، قرار می‌گیرد. همچنین، از دیدگاه اشتولین (Stöcklin, 1968) در حد فاصل بین پهنه دگرگونی-تفوژی سنتدج-سیرجان و کمربند ماگمای ارومیه-دختر قرار می‌گیرد. در این منطقه، بررسی‌های زمین‌شناسی و کانه‌زایی توسط پژوهشگران Maanijou, 2002; Moghaddasi et al., 2019; Nafisi et al., 2019 میدان معدنی تکاب-انگوران توسط گسل راند قیزجه با راستای

نهشته‌های تراورتنی تخت سلیمان اشاره کرد (شکل ۱).

فعالیت چشم‌های آهک‌ساز با آب‌های سرد و گرم در زمان کواترنری موجب تشکیل تراورتن‌های عهد حاضر شده که از آن جمله می‌توان به



شکل ۱. A: نقشه ساده‌شده زمین‌شناسی ایران و B: نقشه زمین‌شناسی میدان معدنی تکاب-انگوران و موقعیت کانسار طلای زرشوران و ان迪س چالداغ در آن. با تغییرات از گیلگ و همکاران (Gilg et al., 2006)

Fig. 1. A: Simplified geologic map of the Iran, and B: geologic map of the Takab-Angouran orefield and location of the Zarshuran gold mine and Chaldaq prospect (modified after Gilg et al., 2006).

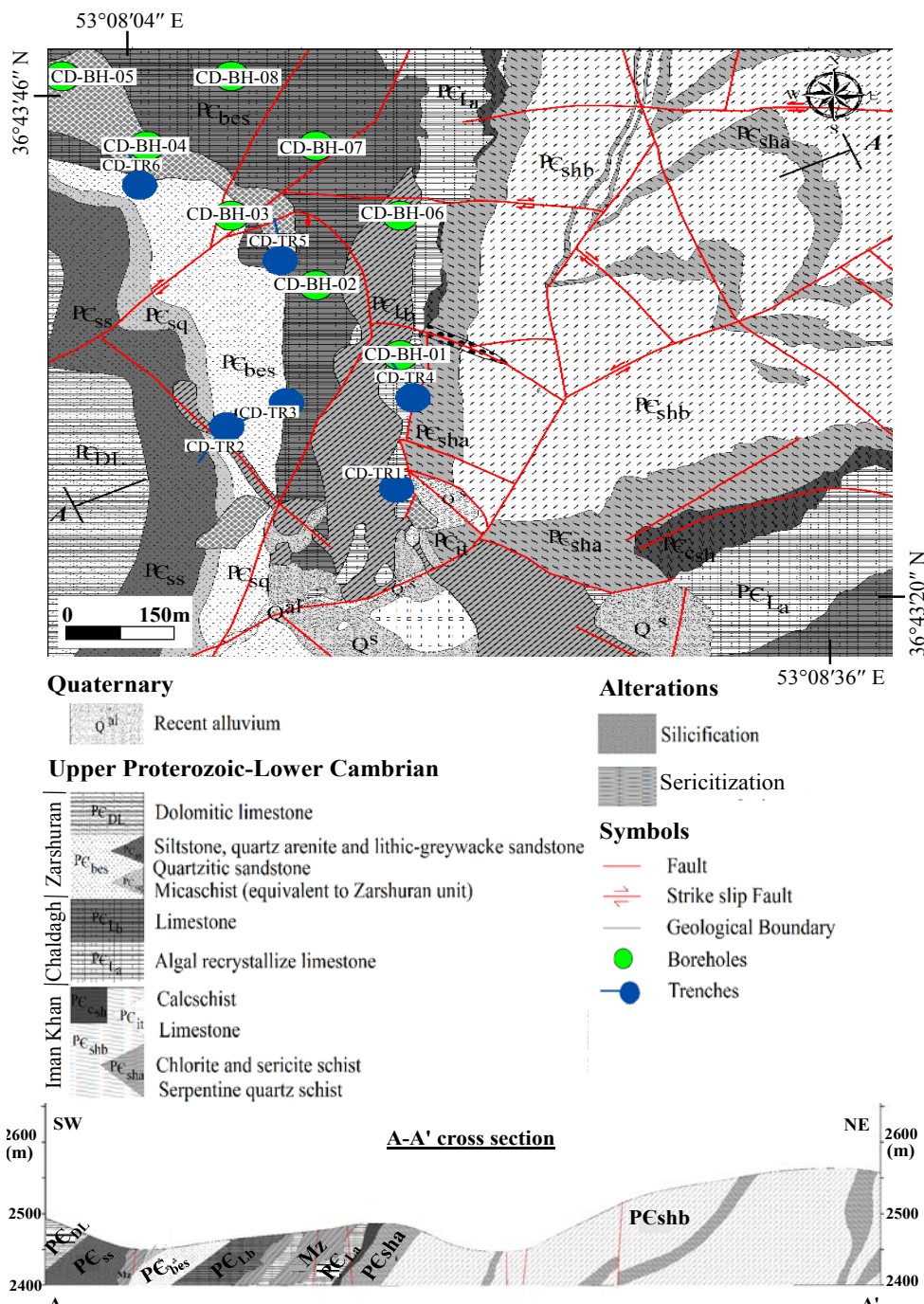
نهشته‌شده که می‌توان به آهک متبلور خزه‌ای و بر روی آن به تناوب آهک لایه‌ای و متبلور زرد رنگ اشاره کرد. واحد شیل و سیلتستون سیاه زرشوران به طور همساز بر روی آهک چالداغ قرار گرفته که شامل میکاشیست، توف، آهک و دولومیت بین لایه‌ای با شیل است. بر روی این میکاشیست‌ها، ماسه‌سنگ‌گری واک و آهک‌های عدسی شکل قرار گرفته و توالی آهک دولومیتی همراه با چرت، آخرین واحد شیل زرشوران است. آهک چالداغ و شیل زرشوران معادل سازند دولومیت سلطانیه در نظر گرفته می‌شود (Mehrabi et al., 1999). در نهایت می‌توان رسوبات آبرفتی کواترنر را به عنوان جوان‌ترین واحد ان迪س چالداغ در نظر گرفت (شکل ۲). طبق بررسی‌های صحرایی و ساختاری، دست کم دو نوع

زمین‌شناسی ان迪س چالداغ

بر مبنای نقشه زمین‌شناسی زرشوران با مقیاس ۱:۳۵۰۰ (Kavoshgaran Consultant Engineering, 2013) مهم‌ترین واحدهای سنگی منطقه چالداغ با سن نئوپروتزوئیک-کامبرین بالایی به ترتیب از قدیم به جدید شامل واحد شیست ایمان‌خان، واحد سنگ‌آهک چالداغ و واحد شیل و سیلتستون سیاه زرشوران است. واحد شیست ایمان‌خان به عنوان قدیمی‌ترین واحد سنگی و سنگ بستر منطقه شامل کوارتزیت، سریسیت‌شیست و آهک‌های بین لایه‌ای بوده که معادل سازند کهر در نظر گرفته می‌شود (Nabavi, 1976). بر روی سنگ بستر ایمان‌خان، واحد کربناتی چالداغ

ترانشه‌های اکشافی متعددی در اندیس طلای چالداغ حفر شده که موقعیت آنها در شکل ۲ نشان داده شده است.

گسل راستالغز متقاطع با روندهای NW-SE و NE-SW در منطقه چالداغ وجود دارد که گسل‌های دسته دوم با طول کمتر و فراوانی بیشتر نقشی مهم در کنترل کانه‌زایی دارند (شکل ۲). گمانه‌ها و



شکل ۲: نقشه زمین‌شناسی ساده‌شده اندیس طلای چالداغ به همراه مقطع عرضی 'A-A'. با تغییرات از مهندسین مشاور کاوشگران Kavoshgaran Consultant Engineering (2013)

Fig. 2. Simplified geological map of the Chaldaq gold prospect with A-A' cross section. Modified after Kavoshgaran consultant Engineering (2013).

(Arehart et al., 1993; Arehart and Donelick, 2006)

طبق شواهد صحرایی، کانه‌زایی در ان迪س چالداع به صورت یک توده عدسی شکل با پهنای 30 cm و درازای تقریبی 700 m تر در میزان واحد کربنات چالداع با سن نوپر و ترو佐ئیک- کامبرین بالایی تشکیل شده است (شکل های ۲ و ۳-A). راستای توده معدنی شمالی- جنوبی و دارای شیب غالب به سمت جنوب غرب است. تعداد ۸ گمانه مغزه‌گیری اکتشافی و بیش از 10 cm ترانشه در ان迪س طلای چالداع حفر شده که اغلب در میزان واحد کربناتی چالداع انجام شده است (شکل ۲). از لحاظ ژئومتری، ماده معدنی در ان迪س چالداع بافت و ساختهای پرکننده فضای خالی، رگه- رگچه‌ای (شکل ۳-B)، نواری (شکل ۳-C) و برشی (شکل ۳-D) تشکیل شده است. مواد آلی بارنگ سیاه و لمس چرب در سنگ میزان آهکی همراه کانه‌زایی سولفیدی پیریت مشاهده شد (شکل ۳-E). بر اساس پژوهش‌های قبلی در کانسار زرشوران نیز محتوای کربن آلی در کانسنگ آرسنیک- طلا حدود $7/38$ درصد گزارش شده است (Asadi et al., 2000).

دگرسانی‌های سریستی، آرژیلیک، سیلیسی و کربنات‌زدایی مهم ترین دگرسانی‌های مشاهده شده در منطقه چالداع هستند (شکل ۴). دگرسانی سریستی با حضور کانی‌های سریست، کوارتز و پیریت و مقادیر ناچیز کلسیت و کلریت تشکیل شده است. از آنچایی که واحدهای سیلتستون و ماسه‌سنگی همراه سنگ میزان کربناته چالداع در منطقه مورد بررسی وجود دارد، به نظر می‌رسد دگرسانی سریستی از تجزیه فلدسپات‌های اولیه موجود در سنگ به کانی سریست تبدیل شده است. همراهی این دگرسانی با فرایند کربنات‌زدایی در رخمنون‌های سنگی منطقه چالداع یانگر این مسئله است (شکل ۴-A). دگرسانی آرژیلیک در منطقه چالداع با مجموعه کانی‌های کائولینیت، مونت‌موریونیت و اسکورودیت ($\text{FeAsO}_4 \cdot 2\text{H}_2\text{O}$) به‌ویژه در رخمنون سنگ‌های کربناته و سیلتستون با رنگ سفید قابل مشاهده است (شکل ۴-B). دگرسانی سیلیستون با رنگ سفید قابل مشاهده است (شکل ۴-C). دگرسانی سیلیسی با رخداد کوارتز‌های ریز بلور یا ژاپروئید مشاهده می‌شود که تشکیل ژاپروئید در سنگ‌های کربناته به واسطه انحلال هم‌زمان کربنات و نهشت سیلیس در حفره‌ها، شکستگی‌ها و فضاهای خالی

روش مطالعه

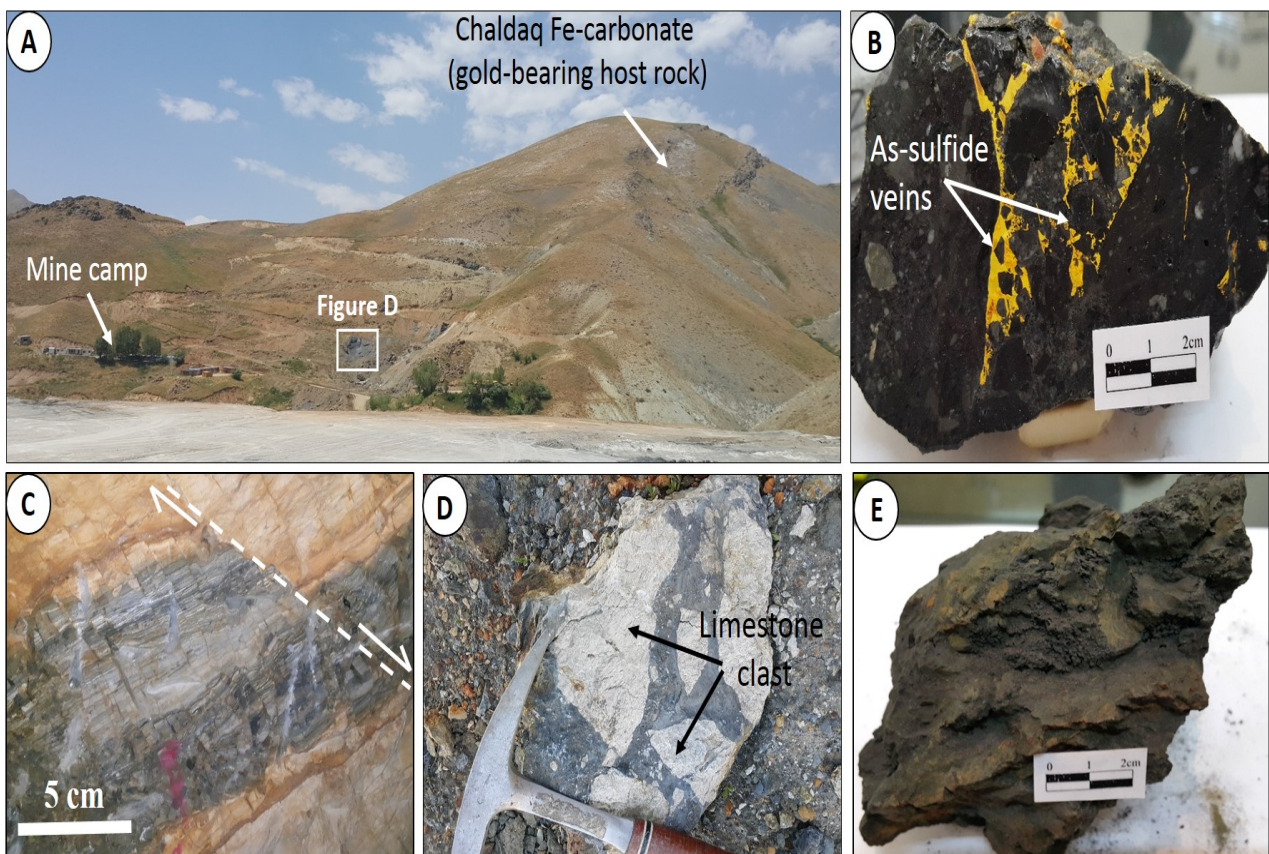
تعداد ۷۰ نمونه سنگی از بخش‌های مختلف ذخیره شامل واحدهای سنگ میزان، زون کانی‌سازی و دگرسانی برداشت شده است. بر این اساس، بررسی‌های پتروگرافی نمونه‌ها با استفاده از تعداد ۵۰ مقطع نازک و نازک-صیقلی توسط میکروسکوپ نوری پلاریزان زایس Axioplan2 در نورهای عبوری و بازتابی، انجام شد. بر مبنای آن، تعداد ۵ مقطع نازک-صیقلی برای انجام آزمون ریزکاوالکترونی انتخاب شد. مقاطع قبل از بمباران الکترونی، با ضخامت 50 nm آنگستروم تحت انود کربنی قرار گرفتند. سپس نمونه‌ها با استفاده از فناوری ریزکاوالکترونی مدل Cameca SX100 فرآوری مواد معدنی ایران (کرج)، مورد تجزیه قرار گرفتند. این آزمایش با ولتاژ 20 kV ، جریان پرتوی الکترونی 30 nA و قطر پرتو $10\text{ }\mu\text{m}$ میکرون انجام شد. زاویه جهش ژئومتری پرتو ایکس بین 40° تا 52° درجه و خطای تجزیه تقریباً $10\text{ }\mu\text{m}$ در تن گزارش شده است. کمینه حد تشخیص برای عنصر آهن 200 ppm ، آرسنیک 200 ppm ، گوگرد 70 ppm و برای سایر عناصر سرب، نقره، مس، روی، آنتیموان، بیسموت، جیوه، کادمیوم و تلور حدود 100 ppm است. حد تشخیص طلا در تجزیه‌های انجام شده 0.001 ppm درصد وزنی است. برای تعیین نسبت ایزوتوپی گوگرد، تعداد ۳ نمونه پیریت و ۳ نمونه رالگار در آزمایشگاه ایزوتوپی دانشگاه آریزونا مورد تجزیه قرار گرفت. ایزوتوپ پایدار گوگرد توسط دستگاه طیف‌سنج MAT252 اندازه‌گیری و نتایج به صورت دلتا در هزار $\delta(\text{‰})$ ارائه شد. مقادیر $\delta^{34}\text{S}$ نسبت به استاندارد شهاب‌سنگ کانیون دیابلو و دقت تجزیه $\pm 0.2\text{ ‰}$ در هزار بدست آمد.

کانه‌زایی و دگرسانی

کانه‌زایی در ان迪س طلای چالداع از جنبه‌های مختلفی مشابه ذخایر طلای پراکنده در میزان رسوبی معرفی شده توسط هافسترا و کلاین (Hofstra and Cline, 2000) است. در این نوع ذخایر، ذرات طلا به صورت میکرونی یا جانشین شده در شبکه کانه‌های سولفیدی (آرسنیک‌دار) نظیر آرسنین پیریت و آرسنوبیریت با سیمای دانه پراکنده در سنگ میزان واکنش پذیر کربناته آهن دار رخ می‌دهد.

درزه‌ها و شکستگی‌ها رخداده و از شواهد وجود آن می‌توان به حضور واحدهای آهکی متخلخل و سست که ظاهری پودری داشته و به راحتی خرد می‌شوند، اشاره کرد (شکل ۴-D).

صورت گرفته است (شکل ۴-C). دگرسانی کربنات‌زدایی در منطقه مورد بررسی توسط واکنش سیال اسیدی بی‌کربنات HCO_3 با سنگ‌های دربر گیرنده کربنات چالداع ایجاد شده که به تشکیل کلسیت ثانویه منجر شده است. فرایند کربنات‌زدایی اغلب در امتداد



شکل ۳. تصاویر کانه‌زایی از اندیس طلای چالداع. A: دور نمایی از رخمنون کوه چالداع و موقعیت واحد کربناته آهن دار حاوی کانه‌زایی طلا (دید به سمت شمال غرب)، B: ساخت رگه‌رگچه‌ای سولفید آرسنیک، C: ساخت نواری در میزان آهک، D: ساخت برشی همراه قطعات سنگ آهک و E: نمونه دستی از سنگ حاوی ماده آلی با رنگ سیاه و لمس چرب

Fig. 3. Ore mineralization in Chaldaq gold prospect. A: Full view point from Chaldaq mountain and location of ferrocarbonaceous gold-bearing host rock in area (looking to NW), B: As-sulfide vein and veinlets, C: Banded structure within limestone, D: Breccia structure with limestone clasts, and E: Hand samples from organic matters with black color and greasy touch

درصد)، تتراهدریت (فراوانی ۵ درصد)، توئینیت (فراوانی ۵ درصد) و کالکوپیریت (فراوانی ۵ درصد)، مهم‌ترین کانه‌های فلزی اندیس طلای چالداع هستند. این کانه‌ها همراه با طله‌های کوارتز، باریت، فلوریت و کلسیت تشکیل شده است. طی بررسی‌های میکروسکوب

کانه‌شناسی
طبق بررسی‌های کانه‌نگاری میکروسکوپی، کانه‌های سولفیدی پیریت (فراوانی بیش از ۵۰ درصد)، سولفیدهای آرسنیک (فراوانی ۲۰ درصد)، آرسنوفیریت (فراوانی ۱۰ درصد)، اسفالریت (فراوانی ۵

آرسنوبیریت و اسفالریت، آشکارشد. در ادامه ویژگی‌های کانه‌ها ذکر شده است:

الکترونی، طلا هم به صورت محلول جامد (غیرقابل رؤیت) در ترکیب پیریت و هم به صورت ذرات میکرونی قابل مشاهده در



شکل ۴. تصاویر دگرسانی‌های گرمابی از ان迪س طلای چالداغ. A: رخمنون دگرسانی سریستی ± کربنات‌زدایی در مجاور زون کانه‌دار (دید به سمت شمال)، B: دگرسانی آرژیلیک با رخداد کائولینیت، اکسید آهن و مواد آلی (دید به سمت شمال شرق)، C: دگرسانی سیلیسی یا ژاسپروئیدی همراه کائولینیت و وجود قطعات باریت در آن و D: دگرسانی کربنات‌زدایی با وجود آهک سست و متخلخل

Fig. 4. Hydrothermal alterations in the Chaldaq gold prospect. A: Outcrops of sericitic±decarbonatization alteration accompanied with ore-bearing zone (looking to north), B: Argillic alteration occurs with kaolinite, Fe-oxide and organic matters (looking to northeast), C: Silicic alteration or jasperoid accompanied with kaolinite and barite clasts, and D: Decarbonatization alteration with loose and porous limestone

پراکنده یا افشاران بی‌شکل (Py1) با ابعاد کوچک‌تر از ۱۰۰ میلی‌متر تشکیل شدند (شکل B-۵). پیریت‌های دانه‌درشت خوش‌وجه (Py2) با ابعاد ۰/۱ تا ۰/۵ میلی‌متر پس از پیریت‌های نسل اول و دوم تشکیل شدند که از لحاظ ظاهری دارای یک بخش مرکزی حفردار (صیقل ضعیف) و حاشیه صاف (صیقل خوب)، هستند (شکل C-۵). پس از آن، پیریت‌های اسفنجنی با سطحی بسیار پر‌حفره (Py3) و ظاهر بی‌شکل با ابعاد متغیر ۲۰۰ تا ۵۰۰ میکرون

پیریت
با توجه به ویژگی‌های میکروسکوپی نظیر شکل ظاهری، سنگ میزان و ابعاد، شش نوع پیریت در دو مرحله کانه‌زایی دیاژنتیک و گرمابی در ان迪س طلای چالداغ شناسایی شد. پیریت‌های فرامبوئیدال (Py0) اولین نسل از پیریت‌ها هستند که پس از فرایند رسوب گذاری اولیه و طی مرحله دیاژنتیک در میزان کربنات آهن دار تشکیل شده‌اند (شکل A-۵). پس از آن پیریت‌های دانه

اور پیمنت در زمینه کانی باطله کوارتز مشاهده شد. اسفالریت درشت بلور همراه با پیریت‌های افسان بی‌شکل (Py1) و دانه‌درشت خوش‌وجه (Py2) مشاهده شده است.

کالکوپیریت

کالکوپیریت به عنوان کانه سولفیدی فرعی و فراوانی بسیار پایین نسبت به پیریت مشاهده شد. این کانه به صورت نیمه‌شکل دار تا بی‌شکل و ابعاد تقریبی $0/5$ میلی‌متر به صورت ادخال‌های ریز همراه با پیریت‌های افسان بی‌شکل (Py1) و دانه‌درشت خوش‌وجه (Py2)، مشاهده شده است (شکل ۵-L).

طلا

طلا در منطقه چالداع توسط تصاویر الکترون پس‌پراکنده در ترکیب کانه‌های آرسنین‌پیریت، آرسنوبیریت و اسفالریت شناسایی شد. نتایج تجزیه سولفیدها به روش فناوری ریز کاوالکترونی، نشان داد که طلا هم به صورت محلول جامد (غیرقابل رؤیت) در ساختمان آرسنین‌پیریت و هم به صورت ذرات ریز میکرونی (ابعاد کوچک‌تر از 100 میکرون) در ساختمان کانه‌های آرسنوبیریت و اسفالریت مشاهده شد.

تراهریت

به عنوان کانه سولفیدی کمیاب و ابعاد $0/2$ تا $0/7$ میلی‌متر به صورت ادخال در میزان پیریت‌های اسفنجی (Py3) مشاهده شد. این کانه توسط تصاویر الکترون پس‌پراکنده و به صورت ادخال اغلب همراه آرسنوبیریت تشخیص داده شد. کانه‌های کلسیت و کوارتز مهم‌ترین کانه‌های باطله همراه تراهریت هستند.

توئینیت ($\text{Pb}(\text{AsSb})_2\text{S}_4$)

به عنوان کانه سولفیدی کمیاب توسط تصاویر الکترون پس‌پراکنده تشخیص داده شد. ابعاد آن اغلب کوچک‌تر از $0/2$ میلی‌متر و در میزان آرسنوبیریت و سولفیدهای آرسنیک به صورت ادخال تشخیص داده شد.

مشاهده شدند (شکل ۵-D). همچنین، مرحله‌ای از پیریت‌های رگه‌ای شامل دو زیر مجموعه پیریت‌های رگه‌ای-دانه پراکنده (Py4a) (شکل ۵-E) و رگه‌ای-توده‌ای (Py4b) (شکل ۵-F) شناسایی شد که به نظر می‌رسد این پیریت‌ها، متعلق به مراحل پایانی کانه‌زایی سولفیدی در منطقه چالداع هستند. آخرین فاز کانه‌زایی پیریت در ان迪س طلای چالداع تشکیل پیریت‌های کلوفرمی (Py5) با سه بخش قابل تفکیک مرکزی، قشری و بیرونی است (شکل ۵-G) که احتمالاً در اثر نفوذ سیالات گرمابی در فضای خالی و شکستگی‌ها تشکیل شده که آرسنوبیریت می‌تواند در میان نواربندی آنها حضور داشته باشد. طبق بررسی‌های پتروگرافی، هیدروکربن‌های ناخالص به صورت پراکنده و همراه با ناخالصی‌های رسی در اطراف ذرات پیریت مشاهده شد.

سولفیدهای آرسنیک

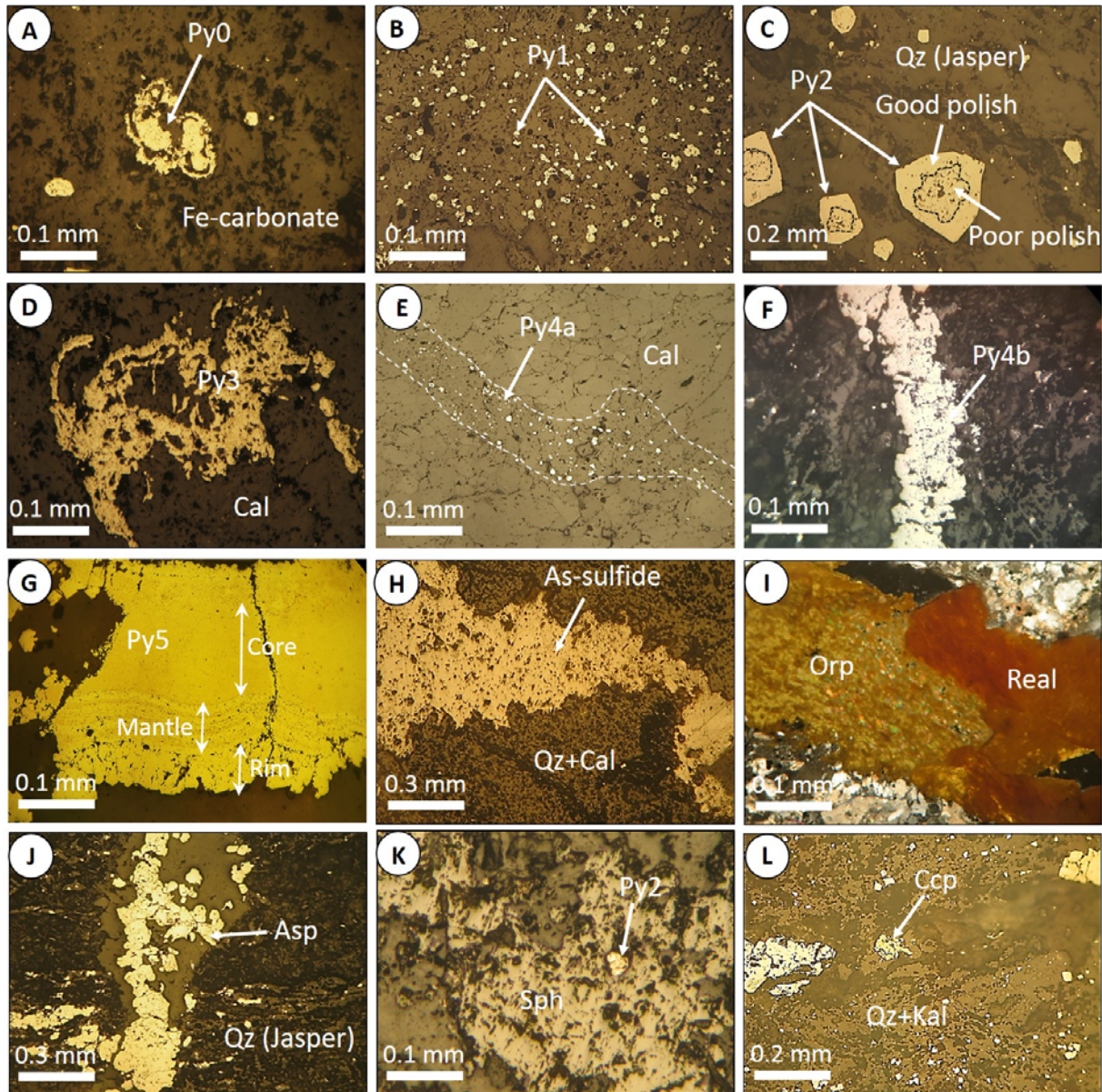
بعد از پیریت، کانه‌های نظیر رالگار (As_2S_3) و اورپیمنت (As_2S_3) فراوان‌ترین کانه‌های سولفیدی حاوی آرسنیک در ان迪س طلای چالداع هستند. طبق شواهد میکروسکوپی این کانه‌ها به صورت رگه-رگچه‌ای و پرکنده فضای خالی در میزان آهک چالداع تشکیل شده (شکل ۵-H و I) و بیشترین همراهی آن با پیریت‌های رگه‌ای Py4 و کلوفرمی Py5 مشاهده شد. مهم‌ترین کانه‌های باطله همراه سولفیدهای آرسنیک شامل کوارتز و کلسیت است.

آرسنوبیریت

در بررسی‌های میکروسکوپی با رنگ انعکاسی روشن و بلورهای نیزه‌ای شکل همراه با پیریت‌های نسل سوم و چهارم مشاهده می‌شود. این کانه با مجموعه‌ای از چند بلور و به ندرت به صورت مجزا دیده می‌شود. مرز تماس بلورهای آرسنوبیریت با سولفیدها به صورت مستقیم و دندانه‌دار بوده و در مواردی تشخیص این مرز بسیار سخت است (شکل ۵-J).

اسفالریت

در ان迪س طلای چالداع، اسفالریت با ابعاد بزرگ‌تر از 100 میکرون (شکل ۵-K) به همراه سایر سولفیدهای دیگر نظیر پیریت، رالگار و



شکل ۵. تصاویر میکروسکوپی از کانه‌های سولفیدی در اندیس چالداغ. A: پیریت فرامبوئیال (Py0) در میزان کربنات آهن‌دار، B: پیریت‌های دانه پراکنده (Py1) در نور بازنایی عادی (PPL) و تصویر I در نور بازنایی (XPL)، C: پیریت‌های سولفیدی در اندیس چالداغ، D: پیریت‌های خوش‌وجه (Py2)، E: پیریت رگه‌ای دانه پراکنده (Py4a) در میزان کلسیت، F: پیریت رگه‌ای توده‌ای (Py4b)، G: پیریت کلوفرم (Py5)، H و I: رگه سولفید آرسینیک رالگار و اورپیمنت، J: آرسن‌پیریت در میزان زاسپروئید، K: دانه‌های پراکنده پیریت خوش‌وجه (Py2) در میزان اسفالریت، L: ذرات پراکنده کالکوپیریت در میزان کوارتز-کائولینیت. عالیم اختصاری کانه‌ها از ویتنی و اوونز (Whitney and Evans, 2010) است. (Py: پیریت، Asp: آرسن‌پیریت، Real: رالگار، Orp: اورپیمنت، Qz: کوارتز، Cal: کالکوپیریت، Sph: سفالریت، Ccp: چالکوپیریت، Kal: کائولینیت).

Fig. 5. Photomicrographs from sulfide ore minerals in Chaldaq prospect. A: occurrence of frambooidal pyrite (Py0) in ferroan carbonate host rock, B: disseminated pyrite (Py1), C: coarse-grain euhedral pyrite (Py2), D: sponge pyrite (Py3), E: vein-type disseminated pyrite (Py4a) in calcite, F: vein-type massive pyrite (Py4b), G: colloform pyrite (Py5), H and I: realgar and orpiment As-sulfide vein, J: arsenopyrite within jasperoid, K: disseminated euhedral pyrite (Py2) within sphalerite, and L: disseminated chalcopyrite in quartz+kaolinite. Abbreviation after Whitney and Evans (2010): (Py: pyrite, Asp: arsenopyrite, Real: realgar, Orp: orpiment, Sph: sphalerite, Ccp: chalcopyrite, Qz: quartz, Cal: calcite, Kal: kaolinite). All photographs in reflected light (PPL) except figure I in reflected light (XPL).

مشاهده شدند. مراحل رخداد کانه‌زایی در ان迪س طلای یگانلی به‌طور شماتیک در شکل ۶ نشان داده شده است.

شیمی کانی‌ها

پیریت و آرسنین پیریت

تجزیه‌های ریز کاولکترونی بر روی چهار نسل از پیریت‌های منطقه چالداغ به ترتیب شامل پیریت‌های Py1 , Py2 , Py3 و Py4 انجام شد. بر این اساس، فرمول تجربی این پیریت‌ها به صورت کلی $\text{Fe}_{0.85}\text{S}_{1.98-2.10}$ به دست آمد که محتوای آهن در ترکیب آنها بین ۴۵/۵ تا ۱.۰۰ درصد وزنی (متوسط $۴۳/۰$ درصد وزنی) است (جدول ۱). همچنین در ترکیب این پیریت‌ها مقادیر جزئی (کمتر از $۰/۵$ درصد وزنی) عناصر کمیاب روی، مس، آرسنیک و سرب آشکارشده است. آرسنین پیریت با توجه به محتوای بالای آرسنیک در ساختمان پیریت شناخته می‌شود و ویژگی‌های پتروگرافی آن در میکروسکوپ نوری قابل تفکیک از پیریت نیست. این کانی با فرمول کلی $\text{Fe}_{0.70-0.80}\text{As}_{0.004-0.012}\text{S}_{1.62-1.65}$ تشخیص داده شد. در ان迪س طلای چالداغ، آرسنین پیریت یکی از میزان‌های اصلی طلا بوده که مقادیر حداکثر ۸۰ تا ۶۰ گرم در تن (ppm) (میانگین ۲۷ گرم در تن در ۷ اندازه گیری) طلا در آنها آشکار شد (جدول ۲).

اسفالریت

بر اساس تجزیه نقطه‌ای انجام شده بر روی اسفالریت، فرمول تجربی آنها $\text{Zn}_{0.91-0.96}\text{Fe}_{0.05-0.06}(0.96-1.01)\text{S}_{0.97-1.02}$ به دست آمد که در ترکیب آنها محتوای روی بین $۶۱/۶۰$ تا $۶۵/۰۰$ درصد وزنی و آهن بین $۱/۰۹$ تا $۴/۳۰$ درصد وزنی به دست آمد. همچنین در این اسفالریت‌ها، عنصر فرعی سرب نیز به‌طور متوضط $۰/۱۶$ درصد وزنی، به دست آمد (جدول ۳). با توجه به بررسی‌های تجزیه ریز کاولکترونی، بیشترین مقدار ۱۱۰۰ گرم در تن طلا (معادل $۰/۱$ درصد وزنی) در اسفالریت‌های ان迪س چالداغ آشکارشده است (جدول ۳). نسبت عنصری Zn/Cd در اسفالریت‌های چالداغ بین $۷۵/۵۳$ تا $۳۶۲/۳۵$ متغیر است. همچنین بر اساس محاسبات، محتوای درصد مولار FeS در اسفالریت‌های منطقه چالداغ بین $۱۸/۲۳$ تا $۵/۵۱$ درصد متغیر است.

مراحل کانه‌زایی

شواهد بافتی، کانی‌شناسی و کانه‌زایی بیانگر رخداد چند مرحله کانه‌زایی در ان迪س طلای چالداغ است. مراحل زمانی رخداد کانه‌زایی به ترتیب در زیر آمده است:

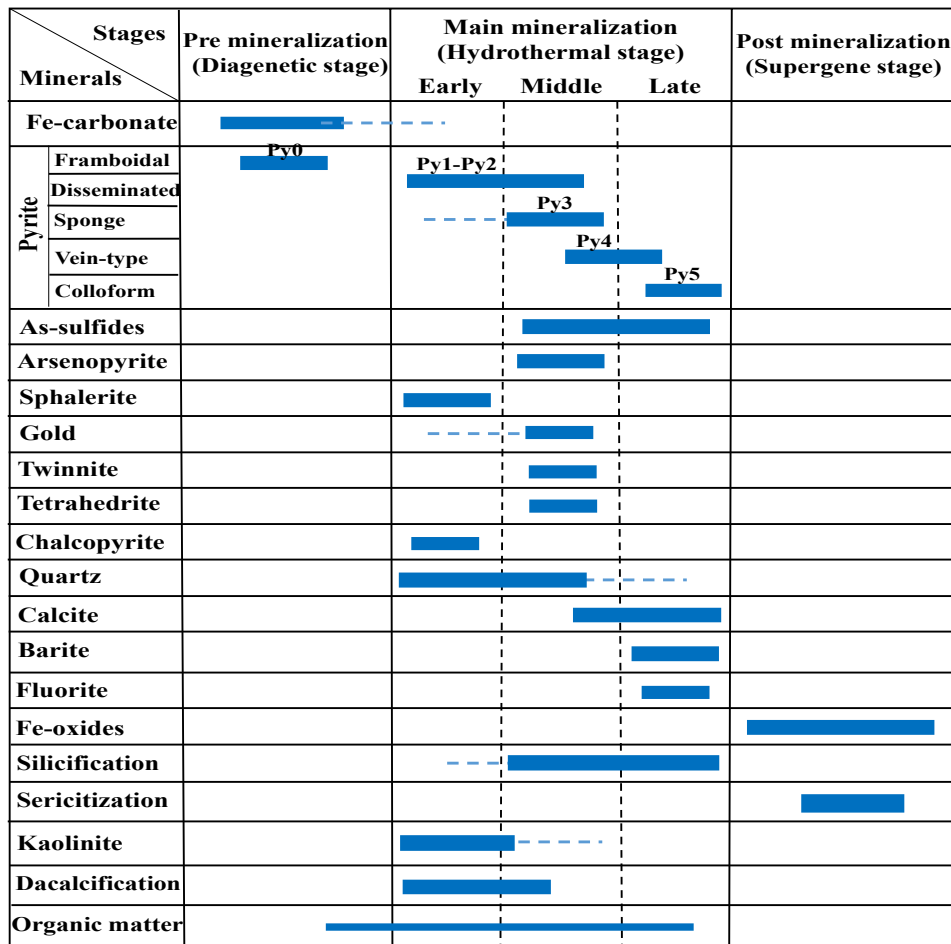
(۱) مرحله قبل از کانه‌زایی (مرحله دیاژنیک): طی این مرحله کانی‌های سنگ‌ساز مانند کربنات‌های آهن دار به همراه پیریت فرامبوئی‌دال تشکیل شده است (شکل A-۵). شواهد حضور کانی‌های سولفیدی آهن دار در این مرحله نظیر پیریت‌های فرامبوئی‌دال منشأ گرفتن این کانی از کربنات‌های آهن دار دریابی را نشان می‌دهد.

(۲) مرحله کانه‌زایی اصلی (مرحله گرمایی): این مرحله با گسترش کانه‌زایی سولفیدی همراه با دگرسانی واحدهای منطقه است که به سه زیر مرحله تقسیم می‌شود.

ذیوم مرحله کانه‌زایی اولیه: با تشکیل سولفیدهایی مانند پیریت دانه پراکنده، اسفالریت، کالکوپیریت مشخص می‌شود (شکل A-۵). سولفیدهایی که طی این مرحله تشکیل می‌شود، به صورت دانه‌های مجزا و یا در طول سطوح ضعف (مانند مرز دانه‌ها) قرار می‌گیرند. این مرحله منطبق با دگرسانی‌های کربنات‌زدایی و کاثولینیتی است. **ذیوم مرحله کانه‌زایی میانی:** با گسترش کانه‌زایی پیریت (درشت‌بلور خوش‌وجه)، سولفید آرسنیک، آرسنوبیریت، طلا، توئینیت و تتراهریت همراه باطله‌های کوارتز و کلسیت است (شکل I-H-۵ و J). در این مرحله دگرسانی سیلیسی با رخداد کوارتز‌های خاکستری همراه است. بخش مهمی از کانه‌زایی طلا در ان迪س چالداغ در این مرحله رخداده است.

ذیوم مرحله کانه‌زایی تأخیری: این مرحله شامل کانه‌زایی سولفیدی پیریت‌های رگه‌ای و کلوفرمی، ادامه سولفید آرسنیک و کانی‌های باطله کلسیت، فلوریت و باریت (به صورت فضابرکن) و رخداد دگرسانی سیلیسی است. در این مرحله کانی‌ها اغلب شکستگی‌ها و فضاهای بین کانی‌های قبلی را اشغال کرده‌اند. مواد آلی نیز همراه ناخالصی‌های رسی در مرحله کانه‌زایی اصلی تشکیل شد (شکل A-4 و B).

(۳) مرحله پس از کانه‌زایی (مرحله سوپرزن): در این مرحله اکسیدهای آهن (شکل B-۴) همراه با رخداد دگرسانی سریسیتی



شکل ۶. همیافت و توالی پاراژنیک کانی‌ها در ان迪س طلای چالداغ. ضخامت خطوط نشان‌دهنده فراوانی کانی‌هاست.

Fig. 6. Paragenesis and paragenetic sequence of minerals in Chaldaq gold prospect. Thickness of line is representing the frequency of minerals.

کالکوپیریت

بر اساس تجزیه انجام شده بر روی کالکوپیریت، فرمول تجربی آنها به صورت $\text{Cu}_{1.00-1.05}\text{Fe}_{1.00}\text{S}_{1.95-2.01}$ بدست آمد که در ترکیب آنها محتوای آهن بین $30/10$ تا $29/30$ درصد وزنی و مس بین $34/90$ تا $34/10$ درصد وزنی در تغییر است. همچنین در این کالکوپیریت‌ها عنصر فرعی سرب نیز به طور متوسط معادل $15/0$ درصد وزنی آشکار شد (جدول ۵).

تراهدریت

تراهدریت از جمله کانه‌های سولفیدی کمیاب در منطقه چالداغ است. این کانی دارای فرمول تجربی $\text{Ag}_{0.52-2.67}\text{As}_{0.25-1}$

آرسنوبیریت

این کانه سولفیدی در ان迪س چالداغ اغلب همراه آرسنین‌پیریت‌ها شناسایی شد. بر اساس تجزیه ریز کاو الکترونی بر روی آرسنوبیریت، فرمول تجربی آن به صورت $\text{Fe}_{0.51-1.82}\text{As}_{0.12-1.00}\text{S}_{1.00-1.65}$ بدست آمد. در ترکیب آنها محتوای آهن بین $42/40$ تا $36/42$ درصد وزنی و آرسنیک بین $38/21$ تا $31/10$ درصد وزنی به دست آمد. با توجه به بررسی‌های تجزیه ریز کاو الکترونی، بیشترین مقدار ۱۲۰۰ گرم در تن طلا (میانگین ۹۰ گرم در تن در سه اندازه گیری) در آرسنوبیریت‌های ان迪س چالداغ آشکار شده است (جدول ۴).

همچین، عنصر فرعی آنتیموان نیز به طور متوسط حدود ۲۳/۶۳ درصد وزنی آشکار شد. علاوه بر این، از ویژگی‌های تراهدریت در منطقه چالداع محتوای آهن کم در آن است (جدول ۶). تراهدریت‌ها محتوای نقره بین ۳/۹۶ تا ۱۰۱/۵۸ درصد وزنی و آرسنیک بین ۱۳/۷۵ تا ۴۴/۳۸ درصد وزنی در تغییر است.

جدول ۱. نتایج تجزیه ریز کاوالکترونی از پیریت در اندیس چالداع (مقادیر بر حسب % wt.)

Table 1. EPMA results form pyrite at Chaldaq prospect (values in wt.%)

Generations	Fe	S	Zn	Cu	As	Ag	Au	Pb	Sb	Total	Empirical formula
Py1 (Fine-grained)	44.88	53.32	0.13	0.21	0.01	bdl	bdl	0.28	bdl	98.83	Fe _{1.00} S _{2.07}
	44.39	53.32	bdl	0.20	0.10	bdl	bdl	0.20	0.11	98.32	Fe _{1.00} S _{2.09}
	44.95	53.07	bdl	0.1	0.10	0.03	bdl	0.27	bdl	98.52	Fe _{0.85} S _{2.06}
Py2 (Coarse-grained)	44.55	52.84	bdl	0.26	0.05	bdl	bdl	0.17	0.07	97.94	Fe _{0.96} S _{2.07}
	44.40	53.44	bdl	0.1	bdl	bdl	bdl	0.28	bdl	98.22	Fe _{0.95} S _{2.10}
	44.84	52.21	0.03	0.26	0.01	0.03	bdl	0.24	bdl	97.62	Fe _{1.00} S _{2.03}
	44.64	52.23	bdl	0.1	0.06	bdl	bdl	0.16	bdl	97.19	Fe _{1.00} S _{2.04}
	44.41	52.68	0.2	0.50	0.01	bdl	bdl	0.32	0.03	98.15	Fe _{1.00} S _{2.07}
	44.01	53.06	bdl	0.29	0.11	bdl	bdl	0.19	bdl	97.66	Fe _{1.00} S _{2.10}
	45.09	52.22	bdl	0.11	0.04	bdl	bdl	0.31	bdl	97.77	Fe _{1.00} S _{2.02}
	45.53	52.89	bdl	0.07	0.03	0.05	bdl	0.20	bdl	98.77	Fe _{1.00} S _{2.02}
Py3 (Sponge)	44.45	52.71	bdl	0.1	0.18	bdl	bdl	0.17	bdl	97.61	Fe _{1.00} S _{2.07}
	44.63	52.20	bdl	0.07	0.03	bdl	bdl	0.18	bdl	97.11	Fe _{1.00} S _{2.04}
	44.82	53.40	bdl	0.08	0.07	bdl	bdl	0.20	bdl	98.57	Fe _{1.00} S _{2.08}
Py4 (Vein-type)	45.26	53.08	0.07	bdl	0.13	bdl	bdl	0.21	bdl	98.75	Fe _{1.00} S _{2.04}
	44.93	52.65	bdl	0.08	bdl	0.04	bdl	0.51	bdl	98.21	Fe _{1.00} S _{2.04}
	44.88	52.22	bdl	0.01	0.02	bdl	bdl	0.13	0.05	97.31	Fe _{1.00} S _{2.03}
	44.85	52.62	0.07	0.14	0.14	bdl	bdl	0.37	bdl	98.19	Fe _{1.00} S _{2.03}

bdl: below detection limit

جدول ۲. نتایج تجزیه ریزکاوالکترونی از آرسنین پیریت در ان迪س چالداغ (مقادیر بر حسب % wt.)**Table 2.** EPMA results form arsenian pyrite at Chaldaq prospect (values in wt.%)

Point no.	Fe	S	Zn	Cu	As	Ag	Au	Pb	Sb	Total	Empirical formula
1	44.99	52.14	0.10	bdl	0.69	bdl	0.001	0.17	bdl	98.09	$\text{Fe}_{0.805}\text{As}_{0.009}\text{S}_{1.62}$
2	44.40	52.67	0.02	bdl	0.47	bdl	0.001	0.18	bdl	97.74	$\text{Fe}_{0.795}\text{As}_{0.006}\text{S}_{1.64}$
3	44.07	52.42	0.13	0.13	0.67	0.05	0.001	0.24	0.07	97.78	$\text{Fe}_{0.789}\text{As}_{0.008}\text{S}_{1.63}$
4	44.82	52.31	bdl	0.01	0.34	bdl	0.006	0.13	bdl	97.61	$\text{Fe}_{0.803}\text{As}_{0.004}\text{S}_{1.63}$
5	43.53	52.03	0.79	0.33	0.89	bdl	0.001	0.32	0.03	97.92	$\text{Fe}_{0.779}\text{As}_{0.012}\text{S}_{1.64}$
6	44.80	53.00	bdl	0.16	0.43	bdl	0.008	0.21	bdl	98.60	$\text{Fe}_{0.803}\text{As}_{0.006}\text{S}_{1.65}$
7	44.10	52.20	0.04	0.23	0.65	0.03	0.001	0.43	0.02	97.70	$\text{Fe}_{0.789}\text{As}_{0.009}\text{S}_{1.62}$

bdl: below detection limit

جدول ۳. نتایج تجزیه ریزکاوالکترونی از اسفالریت در ان迪س چالداغ (مقادیر بر حسب % wt.)**Table 3.** EPMA results form sphalerite at Chaldaq prospect (values in wt.%)

Point no.	Fe	S	Zn	Cu	As	Cd	Ag	Au	Pb	Total	Zn/Cd	Empirical formula
1	4.30	33.70	61.60	0.02	bdl	0.17	bdl	bdl	0.11	99.90	362.35	$(\text{Zn}_{0.91}\text{Fe}_{0.05})_{0.96}\text{S}_{1.02}$
2	1.63	32.80	64.30	bdl	0.08	0.65	bdl	0.05	0.35	99.86	98.92	$(\text{Zn}_{0.95}\text{Fe}_{0.05})_{1.00}\text{S}_{0.99}$
3	1.32	32.90	64.40	bdl	bdl	0.35	bdl	bdl	0.14	99.11	184.00	$(\text{Zn}_{0.95}\text{Fe}_{0.05})_{1.00}\text{S}_{0.99}$
4	1.29	33.10	64.40	0.11	0.08	0.55	bdl	bdl	0.04	99.57	117.09	$(\text{Zn}_{0.95}\text{Fe}_{0.05})_{1.00}\text{S}_{1.00}$
5	1.09	32.70	64.70	0.15	0.08	0.54	0.05	0.06	0.22	99.59	119.81	$(\text{Zn}_{0.96}\text{Fe}_{0.05})_{1.01}\text{S}_{0.99}$
6	1.63	32.50	64.10	bdl	bdl	0.75	0.05	bdl	0.17	99.20	85.47	$(\text{Zn}_{0.95}\text{Fe}_{0.06})_{1.01}\text{S}_{0.98}$
7	1.50	32.20	65.00	bdl	bdl	0.73	bdl	bdl	0.16	99.59	89.04	$(\text{Zn}_{0.96}\text{Fe}_{0.05})_{1.01}\text{S}_{0.97}$
8	1.48	33.00	64.20	bdl	0.04	0.85	bdl	0.11	0.15	99.83	75.53	$(\text{Zn}_{0.95}\text{Fe}_{0.05})_{1.00}\text{S}_{1.00}$
9	1.38	32.20	65.00	bdl	0.02	0.61	0.04	bdl	0.14	99.39	106.56	$(\text{Zn}_{0.96}\text{Fe}_{0.05})_{1.01}\text{S}_{0.98}$
10	1.68	33.60	64.10	bdl	bdl	0.25	bdl	bdl	0.13	99.76	256.40	$(\text{Zn}_{0.95}\text{Fe}_{0.06})_{1.00}\text{S}_{1.02}$

bdl: below detection limit

جدول ۴. نتایج تجزیه ریزکاوالکترونی از آرسنوبیریت در ان迪س چالداغ (مقادیر بر حسب % wt.)**Table 4.** EPMA results form arsenopyrite at Chaldaq prospect (values in wt.%)

Point no.	Fe	S	Zn	Cu	As	Cd	Ag	Au	Pb	Sb	Total	Empirical formula
1	31.10	25.65	bdl	0.14	42.40	0.00	bdl	0.07	0.29	bdl	99.65	$\text{Fe}_{0.60}\text{As}_{0.12}\text{S}_{1.00}$
2	36.42	25.08	0.05	0.19	38.21	0.00	0.01	0.12	0.12	0.03	100.23	$\text{Fe}_{0.51}\text{As}_{0.01}\text{S}_{1.00}$
3	34.32	25.25	bdl	0.13	39.12	0.00	0.01	0.08	0.18	bdl	99.09	$\text{Fe}_{1.82}\text{As}_{1.00}\text{S}_{1.65}$

bdl: below detection limit

جدول ۵. نتایج تجزیه ریزکاوالکترونی از کالکوپیریت در اندیس چالداع (مقادیر بر حسب %)

Table 5. EPMA results form chalcopyrite at Chaldaq prospect (values in wt.%)

Point no.	Fe	S	Zn	Cu	As	Cd	Ag	Au	Pb	Sb	Total	Empirical formula
1	29.30	33.90	bdl	34.90	bdl	0.00	bdl	bdl	0.31	bdl	98.41	$\text{Cu}_{1.05}\text{Fe}_{1.00}\text{S}_{2.01}$
2	30.30	34.00	bdl	34.50	0.24	0.00	0.01	bdl	0.24	bdl	99.29	$\text{Cu}_{1.00}\text{Fe}_{1.00}\text{S}_{1.95}$
3	30.10	33.60	0.08	34.20	bdl	0.04	bdl	bdl	0.16	0.02	98.20	$\text{Cu}_{1.00}\text{Fe}_{1.00}\text{S}_{1.95}$
4	29.80	33.90	0.04	34.00	0.09	0.00	bdl	bdl	0.02	bdl	97.85	$\text{Cu}_{1.00}\text{Fe}_{1.00}\text{S}_{1.98}$
5	29.30	33.10	0.33	34.30	0.02	0.02	0.01	bdl	0.08	0.02	97.18	$\text{Cu}_{1.03}\text{Fe}_{1.00}\text{S}_{1.97}$
6	29.80	33.50	0.71	34.80	0.10	0.00	bdl	bdl	0.12	bdl	99.03	$\text{Cu}_{1.03}\text{Fe}_{1.00}\text{S}_{1.96}$

bdl: below detection limit

جدول ۶. نتایج تجزیه ریزکاوالکترونی از تراهدریت در اندیس چالداع (مقادیر بر حسب %)

Table 6. EPMA results form tetrahedrite at Chaldaq prospect (values in wt.%)

Point no.	S	Zn	Cu	As	Cd	Ag	Au	Pb	Sb	Total	Empirical formula
1	22.97	bdl	0.08	6.18	0.51	39.87	bdl	9.97	20.11	99.69	$\text{Ag}_{1.54}\text{As}_{0.34}\text{Sb}_{0.69}\text{Pb}_{0.20}\text{S}_{2.46}$
2	21.38	bdl	bdl	3.96	0.23	44.38	bdl	6.39	21.25	97.59	$\text{Ag}_{2.67}\text{As}_{0.34}\text{Sb}_{0.81}\text{Pb}_{0.20}\text{S}_{2.71}$
3	23.03	0.10	0.44	4.78	0.20	23.02	bdl	17.35	31.00	99.92	$\text{Ag}_{0.67}\text{As}_{0.25}\text{Sb}_{1.01}\text{Pb}_{0.33}\text{S}_{2.86}$
4	23.64	0.05	0.49	11.58	0.34	17.75	bdl	17.06	28.16	99.07	$\text{Ag}_{0.52}\text{As}_{0.63}\text{Sb}_{0.94}\text{Pb}_{0.33}\text{S}_{2.98}$

bdl: below detection limit

توئینیت

در صد وزنی به دست آمد. همچنین در این کانی عنصر فرعی آرسنیک نیز مقدار متوسط ۷/۴۶ در صد وزنی آشکار شد. وجود این کانی کمیاب در کانسار طلای زرشوران توسط اسدی (Asadi et al., 2000) نیز گزارش شده است (جدول ۷).

توئینیت با ترکیب $(\text{AsSb})_2\text{S}_4$ از کانه‌های سولفیدی کمیاب در منطقه چالداع است. توئینیت با فرمول تجربی $\text{Pb}_{0.83-1.10}\text{Sb}_{1.48-1.75}\text{As}_{0.35-0.73}\text{S}_{4.00}$ تشخیص داده شد. در ترکیب آن سرب بین ۳۲/۵۸ تا ۳۵/۸۸ درصد وزنی و آنتیموان بین ۳۰/۸۶ تا ۳۵/۴۷ درصد وزنی توئینیت را تشخیص داده است.

جدول ۷. نتایج تجزیه ریزکاوالکترونی از توئینیت در اندیس چالداع (مقادیر بر حسب %)

Table 7. EPMA results form tennite at Chaldaq prospect (values in wt.%)

Point no.	Fe	S	Zn	Cu	As	Cd	Ag	Au	Pb	Sb	Total	Empirical formula
1	0.26	20.27	bdl	0.12	8.70	0.00	0.66	bdl	35.88	33.75	99.64	$\text{Pb}_{1.10}\text{Sb}_{1.75}\text{As}_{0.73}\text{S}_{4.00}$
2	0.70	25.46	0.10	0.39	5.67	0.00	0.56	bdl	33.96	33.11	99.95	$\text{Pb}_{0.83}\text{Sb}_{1.37}\text{As}_{0.38}\text{S}_{4.00}$
3	0.39	21.96	bdl	0.62	10.6	0.00	0.60	bdl	34.48	30.86	99.51	$\text{Pb}_{0.97}\text{Sb}_{1.48}\text{As}_{0.83}\text{S}_{4.00}$
4	0.37	23.55	bdl	0.23	4.88	0.00	0.34	bdl	32.58	35.47	97.42	$\text{Pb}_{0.86}\text{Sb}_{1.59}\text{As}_{0.35}\text{S}_{4.00}$

bdl: below detection limit

کانه‌های سولفیدی ذکر شده بین کمینه ۳/۵ تا بیشینه ۶/۵ پرمیل (متوسط ۵ پرمیل در ۶ نمونه) در تغییر است. برای محاسبه مقادیر (*Ohmoto and Rye, 1997b*) از رابطه اوهموتو و رای ($\delta^{34}\text{S}_{\text{H2S}}$) استفاده شد. طبق بررسی‌های دماستجی، دمای همگن‌شدن متوسط میان بارهای سیال ان迪س چالداغ در حدود ۲۱۰ درجه سانتی گراد به دست آمد (*Bigdeli, 2019*) که بر این اساس، مقادیر $\delta^{34}\text{S}_{\text{H2S}}$ در کانه‌های سولفیدی با تغییرات ناچیز بین کمینه ۱/۸ تا بیشینه ۳/۸ پرمیل (متوسط ۲/۶۳ پرمیل) محاسبه شد (جدول ۸).

زمین‌شیمی ایزوتوپ‌های گوگرد

عنصر گوگرد دارای چهار ایزوتوپ پایدار ^{32}S , ^{33}S , ^{34}S و ^{36}S با درصد فراوانی به ترتیب برابر ۹۵/۰۲ درصد، ۰/۷۵ درصد، ۴/۲ درصد و ۰/۰۱۷ درصد است (*Hoefs, 2015*). استاندارد در نظر گرفته شده برای $^{34}\text{S}/^{32}\text{S}$ شهاب‌سنگ کانیون دیابلو (CDB) است و مقدار بین‌المللی آن ۱/۲۲ است (*Hoefs, 2015*). مقادیر ایزوتوپ $\delta^{34}\text{S}_{\text{sulfide}}$ در کانه‌های سولفیدی پیریت اسفنجی (Py3) (تعداد ۳ نمونه) و رالگار (تعداد ۳ نمونه) در ان迪س طلای چالداغ اندازه گیری شد و نتایج آن در جدول ۸ آمده است. در مجموع مقادیر $\delta^{34}\text{S}$ برای

جدول ۸. داده‌های ایزوتوپ گوگرد از کانه‌های سولفیدی در ان迪س چالداغ.

Table 8. Sulfur isotope values of the ore sulfide minerals at Chaldaq prospect.

Sample no.	Mineral s	Mineralization stage	Average temperature (°C)	$1000\ln\alpha$	$\delta^{34}\text{S} \text{\% (CDT)}$	$\delta^{34}\text{S} \text{\% H}_2\text{S}$
CD-Py-01	Pyrite	Hydrothermal stage		1.7	5.5	3.8*
CD-Py-04	Pyrite	Hydrothermal stage		1.7	3.6	1.9*
CD-Py-05	Pyrite	Hydrothermal stage	210	1.7	3.5	1.8*
CD-As-14	Realgar	Hydrothermal stage		-3.2	6.3	3.1**
CD-As-15	Realgar	Hydrothermal stage		-3.2	5.1	2.9**
CD-As-16	Realgar	Hydrothermal stage		-3.2	5.5	2.3**

$$*\delta^{34}\text{S}_{\text{H2S}} = \delta^{34}\text{S}_{\text{pyrite}} - 0.4 (10^6 \times T^{-2}) \quad (\text{Ohmoto and Rye, 1997b})$$

$$**\delta^{34}\text{S}_{\text{H2S}} = \delta^{34}\text{S}_{\text{realgar}} - 0.75 (10^6 \times T^{-2}) \quad (\text{Ohmoto and Rye, 1997b})$$

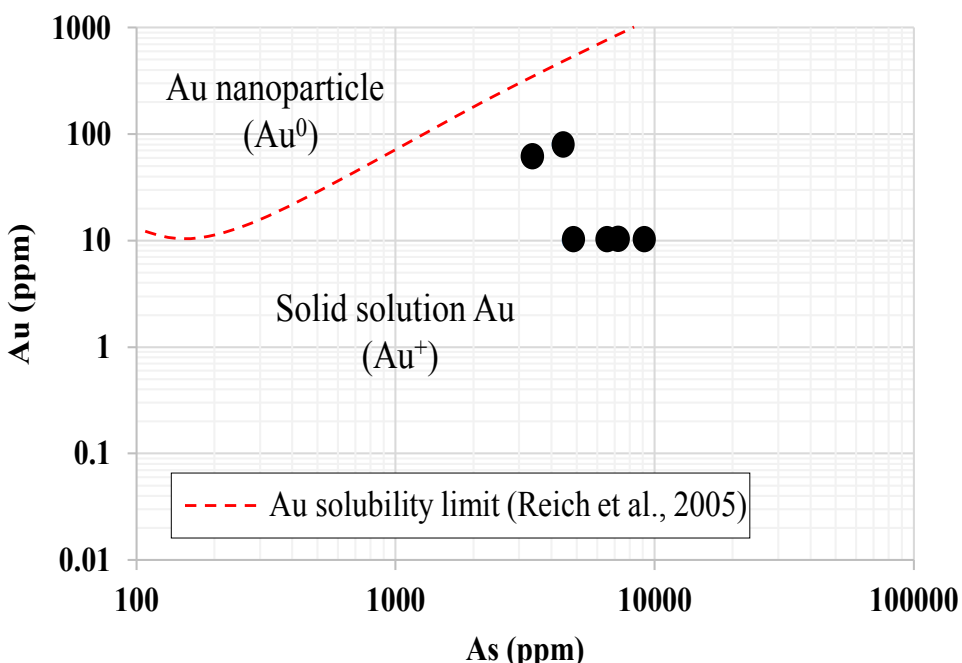
(Au^0)، محلول جامد در شبکه کانی (Au^+) یا نانوذرات (Au^- و Au^{3+})، در میزان کانه‌های سولفیدی (آرسنیک) تشکیل می‌شود (Youn et al., 2003; Xing et al., 2019) همچنین، آرسنیک با یون‌های As^{1-} (جانشین گوگرد در شرایط احیا) و As^{2+} , As^{3+} , As^{5+} (جانشین آهن در شرایط اکسیدان) تشکیل می‌شود (Kusebauch et al., 2019b). طبق بررسی‌های ریزکاوالکترونی، آرسنیک پیریت در ان迪س طلای چالداغ به عنوان یکی از میزان‌های طلا محسوب می‌شود که محتوای طلا در آن بین ۱۰ تا ۸۰ گرم در تن متغیر است. طلا در ترکیب آرسنیک پیریت

بحث

تعیین گونه‌های مختلف آرسنیک و طلا کانسارهای طلا با میزان رسوبی شامل ذخایر Au-Sb اپی‌زونال (کم عمق)، ذخایر طلای افسان دور از منشأ، ذخایر طلای با میزان توربیدایتی و ذخایر طلای نوع کارلین هستند (Simon et al., 1999a; Cline et al., 2005). در این میان، ذخایر طلای نوع کارلین به عنوان ذخایر طلای غیرقابل رؤیت شناخته می‌شوند (Hofstra et al., 1999a; Cline et al., 2000) که در آن طلا به صورت جانشینی در شبکه کانه آرسنیک پیریت بین ۳۰۰ تا ۹۰۰۰ گرم در تن گوارش شده است (Deditius et al., 2008). طلا اغلب به شکل‌های ذرات آزاد

(2005) به نظر می‌رسد بخش مهمی از طلا در ترکیب آرسنین پیریت اندیس چالداغ به صورت محلول جامد همراه کاتیون Au^+ حضور دارد (شکل ۷).

به صورت محلول جامد با کاتیون Au^+ یا ذرات ریز آزاد به صورت Au^0 تشکیل می‌شود (Bakken et al., 1989; Cook and Chryssoulis, 1990; Mao, 1991; Fleet and Mumin, 1997). بر اساس نمودار دوتایی طلا در مقابل آرسنیک و استفاده Reich et al., (2005) از منحنی انحلال‌پذیری طلا توسط ریچ و همکاران (Reich et al., 2005) از منحنی انحلال‌پذیری طلا توسط ریچ و همکاران (Reich et al., 2005)

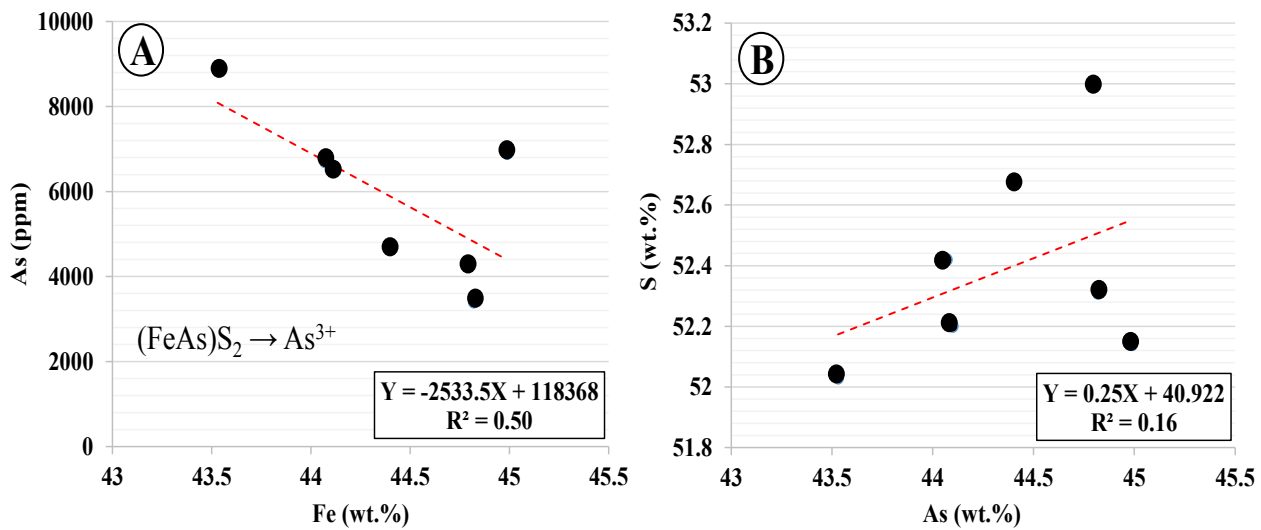


شکل ۷. حضور کاتیون Au^+ به صورت انحلال جامد در ترکیب آرسنین پیریت اندیس چالداغ. منحنی انحلال‌پذیری طلا از ریچ و همکاران (Reich et al., 2005)

Fig. 7. Occurrence of Au^+ as solid solution in arsenian pyrite of the Chaldaq prospect. Au solubility limit curve from Reich et al., 2005.

چالداغ، یک رابطه شیمیایی منفی میان آرسنیک و آهن و در مقابل همبستگی مثبت میان آرسنیک و گوگرد مشاهده شد (شکل A-۸ و B) که گویای حضور As^{3+} در ترکیب آرسنین پیریت‌های اندیس چالداغ با فرمول $(\text{Fe}, \text{As})\text{S}_2$ است. وجود یون آرسنیک As^{3+} در ترکیب آرسنین پیریت احتمالاً نشان‌دهنده ماهیت اکسیدان سیال در هنگام تشکیل طلاست (Deditius et al., 2008). در این شرایط مقادیر ناچیزی از مس و نقره به ترتیب به صورت جایگزینی $\text{As}^{3+} + \text{Ag}^+ \leftrightarrow 2\text{Fe}^{2+}$ و $\text{Au}^{3+} + \text{Cu}^+ \leftrightarrow 2\text{Fe}^{2+}$ در ترکیب آرسنین پیریت اندیس چالداغ متumer کر شده‌اند (جدول ۲).

دست کم دو گونه آرسنین پیریت تاکنون شناسایی شده که شامل ۱) ترکیب $\text{Fe}(\text{S}, \text{As})_2$ با جانشینی As^{1-} در ساختمان سولفور (Simon et al., 1999b; Blanchard et al., 2007) و ۲) ترکیب $(\text{Fe}, \text{As})\text{S}_2$ که در آن As^{3+} جانشین Fe^{2+} می‌شود (Deditius et al., 2008). رابطه منفی گوگرد و آرسنیک در ترکیب شیمیایی آرسنین پیریت بیانگ و وجود ترکیب اول و رابطه منفی میان آهن و آرسنیک گویای حضور ترکیب دوم است (Fleet and Mumin, 1997; Reich et al., 2005). بر اساس تعجزیه‌های نقطه‌ای انجام شده بر روی آرسنین پیریت‌های اندیس



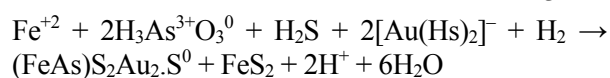
شکل ۸. تعیین گونه آرسنین پیریت در ان迪س چالداغ با استفاده از نمودارهای دوتایی A: آرسنیک-آهن و B: آرسنیک-گوگرد

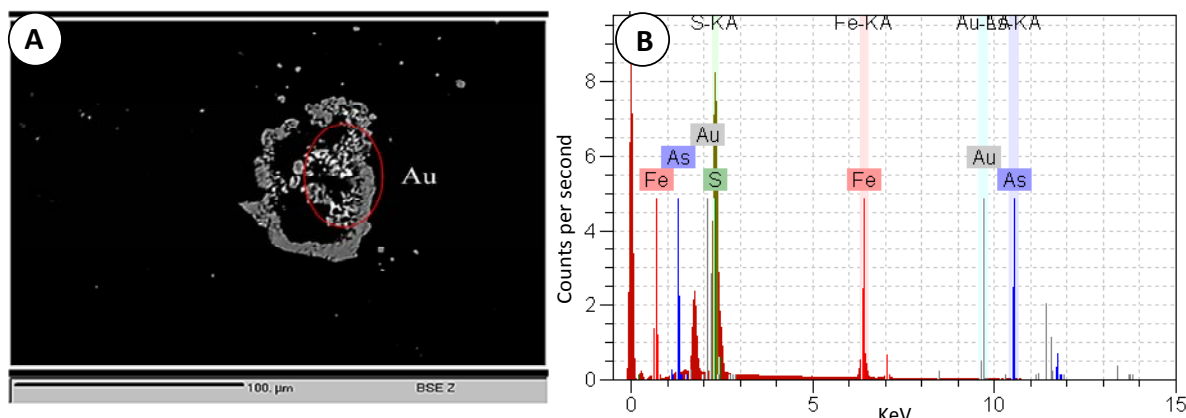
Fig. 8. Determination of arsenian pyrite species at Chaldaq prospect with used of bivariate diagrams of A: As versus Fe, and B: As versus S.

علاوه بر این، طلامی تواند در نتیجه ناپایداری کمپلکس‌های Au(HS)⁻، AuCl₃²⁻ و Au(OH)⁰ تحت شرایط خشی تا اسیدی و ماهیت اکسیدی محیط، به صورت ذرات آزاد سیار ریز در حاشیه آرسنونپیریت تشکیل شود. ذرات طلای آزاد در اطراف آرسنونپیریت‌های ان迪س طلای چالداغ توسط میکروسکوپ الکترونی روبشی همراه طیف الکترونی شناسایی شد (شکل ۹A و ۹B). طبق تجزیه‌های نقطه‌ای مقادیر طلا بین ۰/۱۲ تا ۰/۰۷ درصد وزنی در ترکیب آرسنونپیریت‌ها آشکارشد (جدول ۴). با توجه به نمودارهای دوتایی آرسنیک-طلای و آهن-طلای در ترکیب آرسنونپیریت‌های منطقه و جانشینی منفی آرسنیک با طلا در مقابل آرسنونپیریت‌های منطقه و جانشینی منفی آرسنیک با طلا با ترکیب Au⁺ همبستگی مثبت آهن و طلا به نظر می‌رسد، طلا با ترکیب As³⁺ شده است. به این پدیده که جانشین آرسنیک با ترکیب As³⁺ شده است. و این جانشینی باعث رابطه Decoupled geochemical behavior ساختمان آرسنیک جایگزین شده است و این جانشینی می‌شود (Kusebauch et al., 2019b). نمودارهای مربوطه در شکل ۱۰A و ۱۰B ارایه شده است.

نهضه‌نی چالداغ

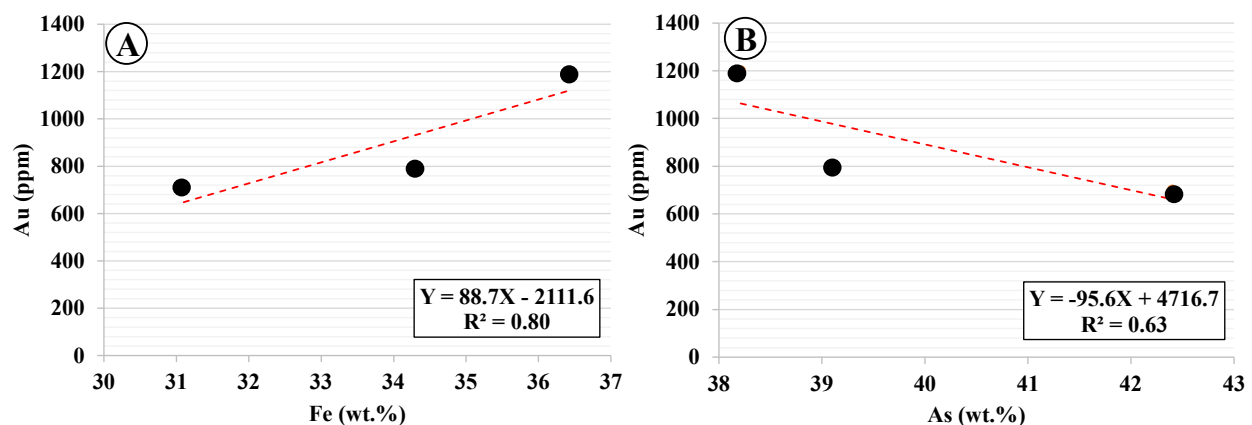
چنان‌که اشاره شد کربنات‌های آهن‌دار در منطقه چالداغ مهم‌ترین سنگ میزبان کانه‌زایی هستند که طی فرایند دیاژنر شکل گرفته و آرسنین پیریت‌ها نیز به عنوان یکی از مهم‌ترین کانه‌های سولفیدی میزبان طلا هستند (جدول ۲). طبق بررسی‌های مختلف در ذخایر طلای نامرئی با میزبان سولفید، سیال گرمابی غنی از H₂S هم‌زمان با فرایند کربنات‌زدایی و آزادشدن مقادیر بالای Fe²⁺ و As³⁺ در محیط، با آن واکنش‌داده و آرسنین پیریت را تشکیل می‌دهند. هم‌زمان با این پدیده، محتوای H₂S در محیط کاهش یافته است و از آنجایی که این ترکیب یکی از مهم‌ترین لیگاند‌های انتقال‌دهنده طلا در محیط محسوب می‌شود، ناپایداری طلا از کمپلکس‌های Cline et al., 2005; Muntean et al., 2011; Su et al., 2011; Xie et al., 2018 شماره ۱ ناپایداری کمپلکس طلا در محیط و جای گیری آن در ساختمان آرسنین پیریت را نشان می‌دهد (Su et al., 2011) و اکنش ۱:





شکل ۹. A: تصویر الکترون پسپراکنده و B: EDS از حضور ذرات میکرونی طلا در شبکه بلوری آرسنوبیریت در اندیس چالداغ

Fig. 9. A: backscattered electron image, and B: EDS form the micron-size gold particle in arsenopyrite lattice-bound in the Chaldaq prospect



شکل ۱۰. A: رابطه مستقیم آهن-طلا و B: رابطه معکوس آرسنیک-طلا در ترکیب آرسنوبیریت اندیس چالداغ

Fig. 10. A: straight relationship between Fe-Au, and B: inverse relationship between As-Au in arsenopyrite of the Chaldaq prospect.

- ۱) جانشینی کاتیون‌های دوتایی نظیر Co^{2+} , Ni^{2+} , Mn^{2+} و Cu^{2+} در جایگاه Fe^{2+}
 - ۲) مشارکت کاتیون‌های منفرد Cu^{1+} , Tl^{1+} , Ag^{1+} و Au^{1+} در مواردی Sb^{3+} در جایگاه عناصر چهارظرفیتی یا دو کاتیون Fe^{2+}
 - ۳) جانشینی آنسیون‌های Se^{2-} و As^{1-} و در مواردی Te^{2-} در جایگاه سولفور
- کاتیون‌های Zn^{2+} و Cu^{2+} می‌توانند به صورت ادخال‌های کالکوبیریت و اسفالریت در ساختمان پیریت وارد شوند. با توجه

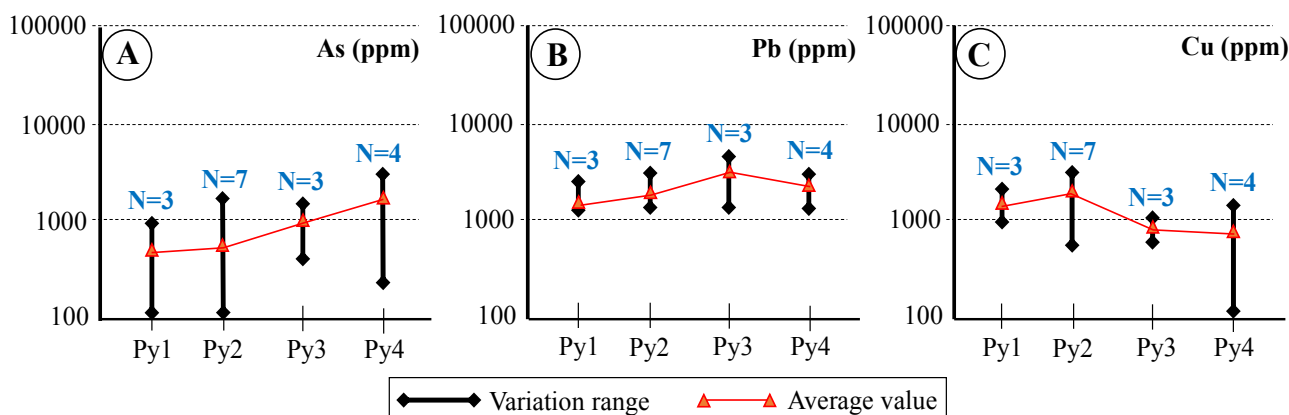
توزیع عناصر کمیاب در پیریت

حضور عناصر کمیاب در ساختمان کانه‌های سولفیدی می‌تواند به دو صورت ادخال‌های میکرونی/نانوذرات یا مشارکت در ترکیب شیمیایی رخدده که رفتار سیستماتیک آنها مرتبط با شرایط تنشست اولیه یا ویژگی‌های فیزیکوشیمیایی سیال در محیط است (Wu et al., 2019; Xing et al., 2018). طبق پژوهش گرنت و همکاران (Grant et al., 2018) و جورج و همکاران (George et al., 2018) حضور عناصر مختلف در ترکیب شیمیایی پیریت به سه صورت زیر رخ می‌دهد:

توئینیت و تتراهدریت با پیریت‌های اسفنجی نسل سوم دور از انتظار نیست (شکل ۱۱-B).

وجود تغییرات شیمیایی عناصر در نسل‌های مختلف پیریت، نشان‌دهنده تکامل تدریجی سیال گرمابی طی گذشت زمان است (Wu et al., 2019). بر این اساس، در مراحل نخستین شکل‌گیری سیستم گرمابی در محیط، سیال گرمابی اولیه اغلب از مقادیر نسبتاً پایین طلا و آرسنیک برخوردار است که با گذشت زمان و بالا رفتن تبادلات سیال و سنگ، این سیال پیریت‌های با محتوای بالای آرسنیک را تشکیل می‌دهد. این ویژگی در پیریت‌های ان迪س طلای چالداع مشاهده شد؛ به طوری که میانگین آرسنیک در پیریت‌های دانه پراکنده اولیه (Py1) به مراتب کمتر از پیریت‌های رگه‌ای تأخیری (Py4)، است (شکل ۱۱-C و جدول ۱) و روندی تدریجی در افزایش محتوای آرسنیک در پیریت‌ها با گذشت زمان مشاهده شد.

به مقادیر نسبتاً بالای مس (بیشینه ۵٪ درصد وزنی) در ترکیب پیریت‌های نسل اول و دوم ان迪س چالداع، حضور ادخال‌های میکرو‌نی کالکوپیریت در ترکیب این پیریت‌ها دور از انتظار نیست. وجود مقادیر بالای کاتیون Cu^{2+} در ترکیب پیریت‌های نسل دوم احتمالاً بیانگر هم‌زمانی تشکیل آن با کالکوپیریت و حضور ادخال‌های ریز کالکوپیریت در ترکیب Py2 است (شکل ۱۱-A). علاوه‌بر این، کاتیون Pb^{2+} به دلیل پتانسیل بونی بزرگ (نسبت Z/r) تمایلی به شبکه بلوری پیریت را نداشته است (George et al., 2018) و تنها می‌تواند به صورت ادخال‌های میکرو‌نی از گالن یا سولفوسالت‌های سرب‌دار حضور داشته باشد. وجود مقادیر سرب در ترکیب پیریت‌های اسفنجی منطقه مورد بررسی، احتمالاً ناشی از وجود ادخال‌های نانوذرات توئینیت یا تتراهدریت (جدول‌های ۶ و ۷) در ترکیب این کانه‌های است. این موضوع با توجه به هم‌زمانی رخداد کانه‌های



شکل ۱۱. نمودار تغییرات عناصر A: آرسنیک، B: سرب و C: مس در ترکیب چهار نسل پیریت در ان迪س چالداع

Fig. 11. Chemical variations of A: As, B: Pb, and C: Cu in four generation of pyrites at Chaldaq prospect

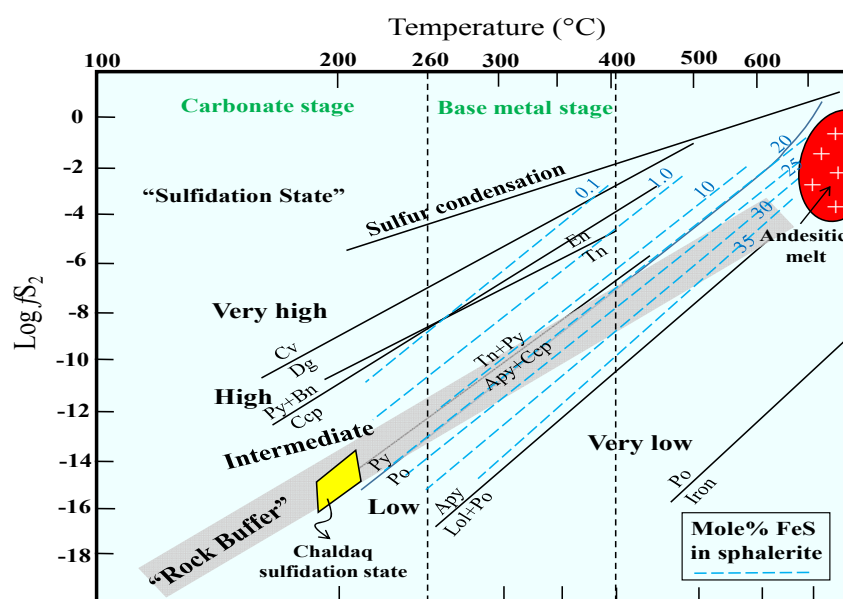
عناصر کمیاب نظیر آهن، کادمیوم، ژرمانیوم و سلنیوم، جانشین عنصر روی در اسفالریت شده و برخی نیز به صورت ادخال‌های بسیار ریز در ساختمان آن حضور دارند. بر اساس بررسی‌های انجام شده، دست کم دو متغیر مهم برای تجزیه و تحلیل شرایط رخداد کانه اسفالریت و در پی آن دستیابی به ویژگی‌های سولفیداسیون سیال و

تعیین وضعیت سولفیداسیون توسط اسفالریت

بررسی اسفالریت در ذخایر معدنی مختلف، ناشی از اهمیت آن برای ثبت ویژگی‌های فیزیکی و شیمیایی سیال کانه‌ساز به واسطه تغییر در ترکیب عناصر جزئی در آن است (Grammatikopoulos et al., 2006). طبق پژوهش وو و همکاران (Wu et al., 1994)، برخی از

همچنین، تعیین درصد FeS مولار در اسفالریت، روشی مناسب برای ارزیابی وضعیت سولفیداسیون سیال با استفاده از مقادیر LogS_2 است (Berglund and Ekstrom, 1980). مقدار آهن اسفالریت رابطه عکس با فعالیت گوگرد (aS_2) و فشار محیط دارد (Barnes, 1997; Lusk and Calder, 2004)؛ بر اساس بررسی‌های زامانسک (Czamanske, 1974)، در صورت پایین‌بودن محتوای آهن در اسفالریت‌ها (به طور معمول کمتر از ۰/۶ درصد وزنی)، این میزان نشان‌دهنده هم‌زمانی رخداد اسفالریت با کانه پیریت است؛ زیرا در هنگام تشکیل هم‌زمان این کانی‌ها، بخش مهم آهن محیط جذب پیریت می‌شود. محتوای FeS mol% در اسفالریت‌های اندیس طلای چالداغ طبق تجزیه‌های نقطه‌ای انجام شده بین ۵/۵ تا ۱۸/۲ درصد مولار متغیر است. با توجه به دمای متوسط ۲۱۰ درجه سانتی‌گراد برای رخداد کانه‌زاپی سولفیدی در اندیس طلای چالداغ (Bigdeli, 2019) و محتوای FeS mol% به دست آمده از اسفالریت‌ها، تغییرات سولفیداسیون سیال یا LogS_2 بین ۱۴ تا ۱۶ به دست آمد که منطبق با شرایط سولفیداسیون متوسط است (شکل ۱۲).

Jonasson and Sangster, 1978; Xuexin, 1984; Gottesmann and Zn/Cd (Kampe, 2007) است. جانشینی (FeS mol%) است. در شبکه اسفالریت‌ها اغلب در دمای پایین رخ می‌دهد. علاوه بر Cd در حضور کمپلکس‌های Cd^{2+} ، شوری (غلط Cl^-)، تراکم Cd در اسفالریت است (Scott, 1983). طبق پژوهش‌های pH سیال از عوامل اصلی کنترل کننده غلظت Cd در Zn/Cd (Wei et al., 2018) در ترکیب اسفالریت می‌تواند در محیط‌های مختلف کانساری متفاوت باشد؛ به طوری که در ذخایر آتشفسانی-رسوبی بین ۵۱۳ تا ۴۱۷ (متوسط ۴۶۵)، ذخایر گرمایی بین ۱۰۴ تا ۲۱۴ (متوسط ۱۶۰) و ذخایر سرب و روی با سنگ میزان روسوبی بین ۲۵۲ تا ۳۳۰ (متوسط ۲۹۰) است. نسبت Zn/Cd در اسفالریت‌های اندیس طلای چالداغ با توجه به تتابع ریزکاوالکترونی، بین کمینه ۷۵/۵ تا پیشینه ۳۶۲/۳ (متوسط ۱۵۰) متغیر است (جدول ۳) که بر این اساس مشابه ذخایر گرمایی است.



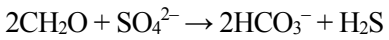
شکل ۱۲. نمودار دوتایی LogS_2 در مقابل دما (بر حسب $^{\circ}\text{C}$) بر اساس اینودی و همکاران (Einaudi et al., 2003) و نمایش وضعیت سولفیداسیون اندیس چالداغ با استفاده از درصد مولار FeS در اسفالریت

Fig. 12. LogS_2 versus temperature ($^{\circ}\text{C}$) (after Einaudi et al., 2003) and presentation of sulfidation state of the Chaldaq prospect with used FeS mol% in sphalerite.

می‌تواند چند منشأ بودن گوگرد را نشان دهد (Hoefs, 2015). در ان迪س چالداغ، تغییرات ناچیز در مقادیر $\delta^{34}\text{S}$ کانه‌ها نشان‌دهنده خاستگاه یکسان گوگرد است و نشان می‌دهد که ترکیب ایزوتوپ منبع و فرایندهای تفکیکی میان اجزای گوگرد در سیال کانه‌دار طی کانی‌سازی یکسان بوده است. تاکنون چهار منبع برای تأمین گوگرد در ذخایر سولفیدی معرفی شده که شامل (۱) نهشته‌های تبخیری حاوی SO_4^{2-} ، (۲) آب دریا، (۳) مواد آلی و (۴) سنگ‌های آذرین است (Hoefs, 2015).

با توجه به دمای کمتر از ۲۵۰ درجه سانتی‌گراد، محیط احیا (میزان Log/S_2 بین ۱۶-تا ۱۴) و pH اسیدی تا خشی (حضور کائولینیت و ایلیت) برای مرحله اصلی کانه‌زایی گرمابی در ان迪س چالداغ، احتمالاً سهم اصلی گوگرد به صورت H_2S تأمین شده است. در این شرایط، مقادیر $\delta^{34}\text{S}$ سولفید در تعادل و مشابه با مقادیر $\delta^{34}\text{S}_{\text{H}_2\text{S}}$ سیال خواهد بود (Ohmoto and Rye, 1997b) که این موضوع در منطقه چالداغ وجود دارد (جدول ۸). از آنجایی که تأمین گوگرد از نهشته‌های تبخیری با احیای SO_4^{2-} به H_2S و توسط فرایندهای باکتریایی و یا شیمیایی (احیای ترموشیمیایی سولفات) انجام می‌گیرد (Ohmoto and Goldhaber, 1997a) مثبت بالا (یعنی از ۱۰ پرمیل) مشخص می‌شود که این مقادیر در سولفیدهای ان迪س چالداغ مشاهده شد. تأمین گوگرد از آب دریا نیز معمولاً با رخداد یک تفرقی سیستمیک وسیع میان سولفات و سولفید همراه بوده که بسته به محیط رخداد در سیستم‌های باز با سوخت آب یا محیط بسته نظری آب‌های درون منفذی رسوب از تغییرات گسترده ایزوتوپ گوگرد برخوردار است که این تغییرات در داده‌های ایزوتوپی گوگرد ان迪س چالداغ مشاهده نشد. مواد آلی به عنوان یکی از تأمین کننده‌های مهم گوگرد در محیط‌های رسوبی اسیدی در حضور سولفات، طبق واکنش ۲ مقادیر بالایی گوگرد در غالب H_2S ایجاد می‌کنند.

واکنش ۲:



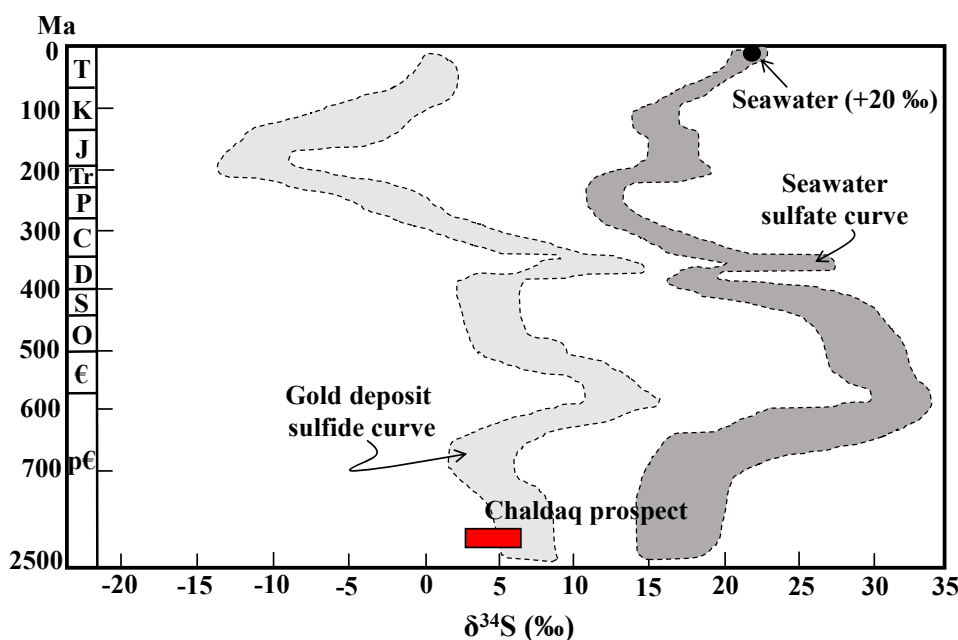
طبق پژوهش فیلد و فیفارک (Field and Fifarek, 1985)، مقادیر مثبت $\delta^{34}\text{S}$ (یعنی صفر تا +۵ پرمیل) در کانه‌های سولفیدی یانگر تفرقی سیستماتیک گوگرد احیا (گونه H_2S) از یک سیال گرمابی

خاستگاه گوگرد

محتوای $\delta^{34}\text{S}$ کانه‌های سولفیدی می‌تواند بر اساس متغیرهای دما، طرفیت بافرینگ اکسیژن (شرایط احیائی)، تغییرات pH و H_2S محیط، دچار تغییر شود (Ohmoto and Rye, 1997b). چنان‌که اشاره شد، برای محاسبه ترکیب ایزوتوپ گوگرد سیال در تعادل با کانه‌های پیریت و رالگار به ترتیب از معادلات $\delta^{34}\text{S}_{\text{H}_2\text{S}} = \delta^{34}\text{S}_{\text{pyrite}}$ و $\delta^{34}\text{S}_{\text{H}_2\text{S}} = \delta^{34}\text{S}_{\text{realgar}} - 0.75 - (10^6 \times 0.4 - T^{-2})$ (Ohmoto and Rye, 1997b) توسط اهموت و رای (T) استفاده شده است. در این محاسبه، برای تصحیح دما از مقدار متوسط دمای همگن‌شدن سیال در گیر کانی باطله فلوریت (معادل ۲۱۰ درجه سانتی‌گراد توسط بیگدلی (Bigdeli, 2019)، همراه کانه‌های سولفیدی پیریت و رالگار استفاده شد. در ان迪س چالداغ، دامنه تغییرات مقادیر $\delta^{34}\text{S}$ برای پیریت، در گستره ۳/۵ تا ۵/۵ پرمیل (متوسط ۴/۲ پرمیل) و مقادیر $\delta^{34}\text{S}_{\text{H}_2\text{S}}$ معادل آن در گستره ۱/۸ تا ۳/۸ پرمیل (متوسط ۲/۵ پرمیل) به دست آمد. همچنین دامنه تغییرات مقادیر $\delta^{34}\text{S}$ برای رالگار، در گستره ۱/۳ تا ۶/۳ پرمیل (متوسط ۵/۶ پرمیل) و مقادیر $\delta^{34}\text{S}_{\text{H}_2\text{S}}$ معادل آن در گستره ۲/۳ تا ۳/۱ پرمیل (متوسط ۲/۸ پرمیل) به دست آمد. طبق پژوهش هوفس (Hoefs, 2015)، مهم‌ترین ویژگی‌های ایزوتوپ‌های گوگرد عبارتند از: (۱) مقادیر نزدیک به صفر $\delta^{34}\text{S}$ گویای منشأ ماقمایی برای گوگرد است، (۲) وسیع بودن مقادیر $\delta^{34}\text{S}$ نشان‌دهنده نقش مواد آلی در تشکیل گوگرد محیط است، (۳) روند تغییرات $\delta^{34}\text{S}$ نشان‌دهنده تغییرات سیال کانه‌ساز طی تشکیل ذخیره است (نظیر اختلاط)، (۴) غنی شدگی مقادیر $\delta^{34}\text{S}$ گویای آن است که گوگرد از آب دریا یا از نهشته‌های تبخیری نظیر ژیپس و ایندیریت منشأ گرفته است و (۵) احیای یون‌های سولفاتی به سولفید هیدروژن (H_2S) توسط برخی از باکتری‌های بی‌هوایی نظیر *Desulfovibrio* باعث افزایش مقادیر $\delta^{34}\text{S}_{\text{H}_2\text{S}}$ می‌شود. در ان迪س چالداغ دامنه تغییرات $\delta^{34}\text{S}$ نمونه‌های سولفیدی دارای دو ویژگی (۱) تغییرات ناچیز مقادیر ایزوتوپ $\delta^{34}\text{S}$ و (۲) مقادیر مثبت ایزوتوپ $\delta^{34}\text{S}$ است. دامنه تغییرات محدود ایزوتوپ $\delta^{34}\text{S}$ در کانسارهای مختلف نشان‌دهنده وجود منع تأمین کننده نسبتاً یکسان برای گوگرد است؛ در صورتی که تغییرات وسیع $\delta^{34}\text{S}$

احتمال تشکیل یون‌های S^{2-} از اکسیداسیون مواد آلی وجود دارد. مقادیر ایزوتوب $\delta^{34}S$ در کانه‌های سولفیدی اندیس طلای چالداع منطبق با منحنی سولفید ذخایر طلا در پرکامبرین است (شکل ۱۳).

تحت شرایط اکسیدی محیط است. در اندیس چالداع با توجه حضور مواد آلی در واحد کربنات چالداع به سن پرکامبرین همراه با رخداد سولفید و نیز وجود کانی سولفاته باریت همراه کانه‌زایی گرمابی،



شکل ۱۳. تغییرات مقادیر $\delta^{34}S$ در کانه‌های سولفیدی اندیس چالداع و انبساط آن با منحنی سولفید در ذخایر طلا پرکامبرین توسط چانگ و همکاران (Chang et al., 2008)

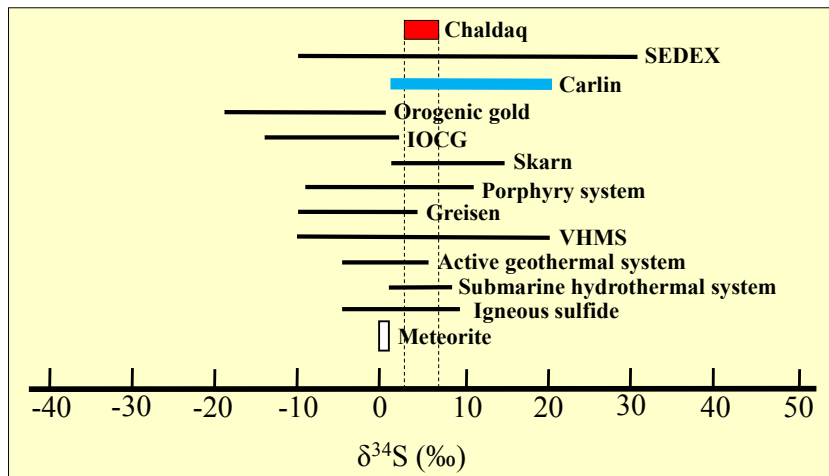
Fig. 13. The $\delta^{34}S$ values of sulfide ore minerals at Chaldaq prospect and similarities with Precambrian gold deposit sulfide curve (after Chang et al., 2008).

تأمین گوگرد از منع آذرین تا حدی بعید به نظر می‌رسد. از سوی دیگر با توجه به حضور توده‌های نفوذی عمیق و رخمنون‌های محدودی از واحدهای کوارتزپورفیری و ریولیت‌های منتبه به سازند قره‌داش در کانسار زرشوران (Mehrabi et al., 1999), احتمال تأثیرپذیرفتن سیال گرمابی از این توده‌ها و منشاء‌گرفتن گوگرد از توده‌های نفوذی عمیق دور از انتظار نیست. با توجه به شواهد ایزوتوبی می‌توان گفت تأمین گوگرد در کانه‌های سولفیدی اندیس طلای چالداع از عملکرد سیال گرمابی اکسیدی بر محیط‌های کربناته حاوی مواد آلی (واحد کربناته چالداع) و تفریق سیستماتیک H_2S احیایی از محیط شکل گرفته است. همچنین، مقادیر $\delta^{34}S$ برای کانه‌های سولفیدی اندیس طلای چالداع با مقادیر $\delta^{34}S$ ذخایر مختلف نظری کانسار SEDEX, طلای کارلین و کومزایی, IOCG

همچنین با توجه به وجود پیریت‌های فرامبوئیدال دیاژنتیک و دمای نسبتاً پایین کانه‌زایی در منطقه، عملکرد باکتری‌های بی‌هوایی و احیای یون‌های سولفاتات به سولفید هیدروژن (H_2S) توسط آنها دور از انتظار نیست. رخداد باریت نیز می‌تواند ناشی از اکسیداسیون سیال گرمابی غنی از باریم یا اختلاط سیال غنی از Ba^{2+} با SO_4^{2-} تشکیل شود (Holland and Malinin, 1997). دامنه تغییرات $\delta^{34}S$ در سولفیدهای گرمابی با منشاء‌گرمابی بین ۲-۱۰ ‰ متغیر است (Hoefs, 2015). منشاء گوگرد ماگمایی می‌تواند ترکیبی از گوگرد حل شده از توده‌های نفوذی عمیق و استوک‌ها و یا گوگرد شسته شده از سنگ‌های میزان آتشفسانی باشد (Carrillo-Rosúa et al., 2008). با توجه به تغییرات ایزوتوب $\delta^{34}S$ در اندیس طلای چالداع و عدم رخمنون واحدهای آذرین محلی در این منطقه، احتمال

ان迪س طلای چالداغ با مقادیر ایزوتوپ سولفیدور ذخایر طلای نوع کارلین مشابهت دارد (شکل ۱۴).

اسکارن، پورفیری، گراین، VHMS، سیستم‌های ژئوترمال و سنگ-های آذرین مورد مقایسه قرار گرفت. بر این اساس، مقادیر $\delta^{34}\text{S}$



شکل ۱۴. نمایش تغییرات $\delta^{34}\text{S}$ کانه‌های سولفیدی ان迪س چالداغ در مقایسه با ذخایر مختلف و بهویژه کانسارهای طلای نوع کارلین. داده‌ها بر اساس هوفس (Hoefs, 2015)

Fig. 14. The $\delta^{34}\text{S}$ variations of sulfide ore minerals at Chaldaq prospect with comparable to various ore deposit and special reference to Carlin-type gold deposits. Data from Hoefs (2015)

لیگاندهای انتقال‌دهنده طلا در محیط محسوب می‌شود، ناپایداری

طلای از کمپلکس‌های بی‌سولفیدی رخ می‌دهد. با توجه به شواهد ایزوتوپی، می‌توان گفت تأمین گوگرد در کانه‌های سولفیدی ان迪س طلای چالداغ از عملکرد سیال گرمابی اکسیدی بر محیط‌های کربناته حاوی مواد آلی (واحد کربناته چالداغ) و تفرقی سیستماتیک گونه احیائی H_2S از آن محیط شکل گرفته است.

قدرتمند

از همکاری صمیمانه مدیریت معدن طلای زرشوران و بهویژه آقایان مهندس عباس ارجمند و مهندس رشیدنیا به دلیل راهنمایی‌های مفیدشان تشکر می‌شود. همچنین از داوران محترم نشریه زمین‌شناسی اقتصادی برای ارائه نظرات مفید و سازنده صمیمانه قدردانی می‌شود.

نتیجه‌گیری

میدان معدنی تکاب-انگوران واقع در شمال غرب ایران به عنوان یکی از حوضه‌های مهم کانه‌زایی طلا در ایران محسوب می‌شود که ان迪س طلای چالداغ با عیار متوسط ۴/۵ گرم در تن در آن قرار دارد. کانه‌زایی ان迪س چالداغ در سنگ میزان واکنش‌پذیر کربناته آهن دار به صورت ذرات طلای میکرونوی یا جانشین شده در شبکه کانه‌های سولفیدی Fe-As-S رخ داده است. کربنات‌های آهن دار طی فرایند دیاژنز شکل گرفته و آرسنین پیریت طلا دار با ترکیب $(\text{Fe}^{2+}\text{As}^{3+})\text{S}_2\text{Au}_2\text{S}^0$ به عنوان یکی از مهم‌ترین کانه‌های سولفیدی میزان طلاست. طبق شواهد در ذخایر طلای نامنه با میزان سولفید، سیال گرمابی غنی از H_2S هم‌زمان با فرایند کربنات‌زدایی و آزادشدن مقادیر بالای Fe^{2+} و As^{3+} در محیط، با آن واکنش داده و آرسنین پیریت تشکیل می‌شود. هم‌زمان با این پدیده، محتوای H_2S در محیط کاهش یافته و از آنجایی که این ترکیب یکی از مهم‌ترین

References

- Asadi, H.H., Voncken, J.H.L., Kuhnel, R.A. and Hale, M., 2000. Petrography, mineralogy and geochemistry of Zarshuran Carlin-like gold deposit, northwest Iran. *Mineralium Deposita*, 35(3): 656–671.
<https://doi.org/10.1007/s001260050269>
- Arehart, G.B., Chryssoulis S.L. and Kesler, S.E., 1993. Gold and arsenic in iron sulfides from sediment-hosted disseminated gold deposits: implications for depositional processes. *Economic Geology*, 88(3): 171–185.
<https://doi.org/10.2113/gsecongeo.88.1.171>
- Arehart, G.B. and Donelick, R.A., 2006. Thermal and isotopic profiling of the Pipeline hydrothermal system: Application to exploration for Carlin-type gold deposits. *Journal of Geochemical Exploration*, 91(2): 27–40.
<https://doi.org/10.1016/j.gexplo.2005.12.005>
- Babakhani, A. and Ghalamghash, J., 1998. Geological map of Takht-e-Soleyman, scale 1:100,000. Geological Survey of Iran.
- Bakken, B.M., Hochella, M.F., Marshall, A.F. and Turner, A.M., 1989. High resolution microscopy of gold in unoxidized ore from the Carlin Mine, Nevada. *Economic Geology*, 84(5): 171–179.
<https://doi.org/10.1007/BF03220200>
- Barnes, H.L., 1997. *Geochemistry of hydrothermal ore deposits*. John Wiley, New York, 797 pp.
- Berglund, S. and Ekstrom, T.K., 1980. Sphalerite composition in relation to the stress distribution of a boudinage. *Lithos*, 7(4): 1–6.
[https://doi.org/10.1016/0024-4937\(74\)90031-0](https://doi.org/10.1016/0024-4937(74)90031-0)
- Bigdeli, R., 2019. Mineralogy, geochemistry and genesis of the Chaldagh gold index in north of Zarshuran deposit, northern Takab. M.Sc. Thesis, Bu-Ali Sina University, Hamedan, Iran, 194 pp.
- Blanchard, M., Alfredsson M., Brodholt, J., Wright, K. and Catlow, C.R.A., 2007. Arsenic incorporation into FeS₂ pyrite and its influence on dissolution: a DFT study. *Geochimica and Cosmochimica Acta*, 71(3): 624–630.
<https://doi.org/10.1016/j.gca.2006.09.021>
- Carrillo-Rosúa, J., Morales-Ruano, S., Morata, D., Boyce, A.J., Belmar, M., Fallick, A.E. and Hach-Alí, P.F., 2008. Mineralogy and geochemistry of El Dorado epithermal gold deposit, El Sauce district, central-northern Chile. *Mineralogy and Petrology*, 92(5): 341–360.
<https://doi.org/10.1007/s00710-007-0203-7>
- Cook, N.J. and Chryssoulis S.L., 1990. Concentrations of invisible gold in the common sulfides. *Canadian Mineralogist*, 28(3): 1–16.
<https://doi.org/10.1007/s00126-0140562-z>
- Cline, J.S., Hofstra, A., Munteau, J., Tosdal, D. and Hickey, K., 2005. Carlin-type gold deposits in Nevada: Critical geologic characteristics and viable models. *Economic Geology*, 89(3): 451–484.
<https://doi.org/10.5382/AV100.15>
- Chang, Z., Large, R.R. and Maslennikov, V., 2008. Sulfur isotopes in sediment-hosted orogenic gold deposits: evidence for an early timing and a seawater sulfur source. *Geology*, 36(2): 971–974.
<https://doi.org/10.1130/G25001A.1>
- Czamanske, K.G., 1974. The FeS content of sphalerite along the chalcopyrite-pyrite-bornite sulfur fugacity buffer. *Economic Geology*, 68(4): 1328–1334.
<https://doi.org/10.2113/gsecongeo.69.8.1328>
- Daliran, F., 2008. The carbonate rock-hosted epithermal gold deposit of Agdarreh, Takab geothermal field, NW Iran—hydrothermal alteration and mineralization. *Mineralium Deposita*, 43(4): 383–404.
<https://doi.org/10.1007/s00126-007-0167-x>
- Deditius, A.P., Utsunomiya S., Renock, D., Ewing, R.C., Ramana, C.V., Becker, U. and Kesler, S.E., 2008. A proposed new type of arsenian pyrite: composition, nanostructure and geological significance. *Geochimica and Cosmochimica Acta*, 72(3): 2919–2933.
<https://doi.org/10.1016/j.gca.2008.03.014>
- Einaudi, M.T., Hedenquist, J.H. and Inan, E.E., 2003. Sulfidation state of fluids in active and extinct hydrothermal systems: transitions from porphyry to epithermal environments. In: S.F. Simmons and I.J. Graham (Editors), *Volcanic, geothermal and ore-forming fluids: Rulers and witnesses of processes within the Earth*. Society of Economic Geologists, New York, pp. 285–313.
<https://doi.org/10.5382/SP.10.15>
- Fleet, M.E. and Mumin, A.H., 1997. Gold-bearing arsenian pyrite and marcasite and arsenopyrite from Carlin trend gold deposits to laboratory synthesis. *American Mineralogist*, 82(3): 182–193.
<https://doi.org/10.2138/am-1997-1-220>
- Field, C.W. and Fifarek, R.H., 1985. Light stable isotope systematics in the epithermal environment. In: B.R. Berger and P.M. Bethke (Editors), *Geology and geochemistry of epithermal systems*.

- Reviews of Economic Geology, New York, pp. 99–128. <https://doi.org/10.5382/Rev.02.06>
- George, L.L., Biagioli, C., D’Orazio, M. and Cook, N.J., 2018. Textural and trace element evolution of pyrite during greenschist facies metamorphic recrystallization in the southern Apuan Alps (Tuscany, Italy): influence on the formation of Tl-rich sulfosalt melt. *Ore Geology Reviews*, 102(3): 59–105.
<https://doi.org/10.1016/j.oregeorev.2018.08.032>
- Gilg, H.A., Boni, M., Balassone, G., Allen, C.R., Banks, D. and Moore, F., 2006. Marble-hosted sulfide ores in the Angouran Zn-(Pb–Ag) deposit, NW Iran: interaction of sedimentary brines with a metamorphic core complex. *Mineralium Deposita*, 41(4): 1–16. <https://doi.org/10.1007/s00126-005-0035-5>
- Gottesmann, W. and Kampe, A., 2007. Zn/Cd ratios in calc-silicate-hosted sphalerite ores at Tumurtijnovoo, Mongolia. *Chemie der Erde*, 67(5): 323–328. <https://doi.org/10.1016/j.chemer.2007.01.002>
- Grammatikopoulos, T.A., Valeev, O. and Roth, T., 2006. Compositional variation in Hg-bearing sphalerite from the polymetallic Eskay Creek deposit, British Columbia Canada. *Chemi der Erde*, 66(3): 307–314.
<https://doi.org/10.1016/j.chemer.2005.11.003>
- Grant, H.L.J., Hannington, M.D., Petersen, S., Frische, M. and Fuchs, S.H., 2018. Constraints on the behavior of trace elements in the actively forming TAG deposit, Mid-Atlantic Ridge, based on LA-ICP-MS analyses of pyrite. *Chemical Geology*, 498(4): 45–71.
<https://doi.org/10.1016/j.chemgeo.2018.08.019>
- Hamdi, B., 1995. Precambrian–Cambrian deposits in Iran. In: A. Hushmandzadeh (Editors), *Treatise of the Geology of Iran*. Geological Society of Iran, Tehran, pp. 20–30.
- Hoefs, J., 2015. Stable isotope geochemistry. Springer, London 244 pp.
- Hofstra, A.H. and Cline, J.S., 2000. Characteristics and models for Carlin-type gold deposits. *Economic Geology*, 13(3): 163–220.
<https://doi.org/10.5382/Rev.13.05>
- Holland, H.D. and Malinin, S.D., 1997. The solubility and occurrence of non-ore minerals. In: H.L. Barnes (Editor), *Geochemistry of hydrothermal ore deposits*. John Wiley, New York, pp. 461–508.
- Jonasson, I.R.M. and Sangster, D.F., 1978. Zn/Cd ratios for sphalerites separated from some Canadian sulphide ore samples. *Geological Survey of Canada*, 78(3): 195–201.
<https://doi.org/10.1016/j.gsf.2021.101241>
- Kavoshgaran Consultant Engineering., 2013. Prospecting and exploration preliminary study of the peripheral Zarshuran gold mine. Iranian Mines and Mineral Industries Development and Renovation Organization, Tehran, Report 2, 499 pp.
- Kusebauch, C., Gleeson, S.A. and Oelze, M., 2019a. Coupled partitioning of Au and As into pyrite controls formation of giant Au deposits. *Science Advances*, 5(1): 1–8.
<https://doi.org/10.1126/sciadv.aav5891>
- Kusebauch, C., Oelze, M. and Gleeson, S.A., 2019b. Partitioning of arsenic between hydrothermal fluid and pyrite during experimental siderite replacement. *Chemical Geology*, 500(3): 136–147.
<https://doi.org/10.1016/j.chemgeo.2018.09.027>
- Li, J.L., Qi, F. and Xu, Q.S., 2003. A negatively charged species of gold in minerals—further study of chemically bound gold in arsenopyrite and arsenian pyrite. *Neues Jahrbuch für Mineralogie-Abhandlungen*, 5(2): 193–214.
<https://doi.org/10.1127/0028-3649/2003/2003-0193>
- Lusk, J. and Calder, B.O.E., 2004. The composition of sphalerite and associated sulfides in reactions of the Cu-Fe-Zn-S, Fe-Zn-S and Cu-Fe-S systems at 1 bar and temperatures between 250 and 535 °C. *Chemical Geology*, 203(3): 319–345.
<https://doi.org/10.1016/j.chemgeo.2003.10.011>
- Maanijou, M., 2002. Proterozoic metallogeny of Iran. International symposium on the metallogeny of Precambrian shields, Kiev, Ukraine
- Mao, S.H., 1991. Occurrence and distribution of invisible gold in a Carlin-type gold deposit in China. *American Mineralogist*, 76(4): 1964–1972.
<https://doi.org/10.1155/2017/2417209>
- Mehrabi, B., Yardley, B.W.D. and Cann, J.R., 1999. Sediment-hosted, disseminated gold mineralisation at Zarshuran, NW Iran. *Mineralium Deposita*, 34(3): 656–671.
<https://doi.org/10.1007/s001260050227>
- Moghaddasi, S.J., Ebrahimi, M. and Mohammadi, F., 2019. Mineralogy, geochemistry and genesis of Gozaldarreh iron deposit, southeast Zanjan. *Journal of Economic Geology*, 11 (1): 33–55. (in

- Persian with English abstract) <https://doi.org/10.22067/econg.v12i3.79628>
- Muntean, J.L., Cline, J.S., Simon, A.C. and Longo, A.A., 2011. Magmatic-hydrothermal origin of Nevada's Carlin-type gold deposits. *Nature Geoscience*, 4(6):122–127. <https://doi.org/10.1038/ngeo1064>
- Nabavi, M.H., 1976. Glossary of geology of Iran. Geological survey of Iran, Tehran 109 pp.
- Nafisi, R., Kouhestani, H., Mokhtari, M.A. and Sadeqhi, M., 2019. Geochemistry and tectonomagmatic setting of protolite rocks of meta-volcanics in the Halab metamorphic complex (SW Dandy, Zanjan Province). *Journal of Economic Geology*, 11 (2): 211–235. (in Persian with English abstract) <https://doi.org/10.22067/econg.v11i2.68167>
- Ohmoto, H. and Goldhaber, M., 1997a. Sulfur and carbon isotopes. In: H.L. Barnes (Editor), *Geochemistry of hydrothermal ore deposits*. John Wiley, New York, pp. 517–611.
- Ohmoto, H. and Rye, R.O., 1997b. Isotope of sulfur and carbon. In: H.L. Barnes (Editor), *Geochemistry of hydrothermal ore deposits*. John Wiley, New York, pp. 509–567.
- Reich, M., Kesler, S.E., Utsunomiya, S., Palenik, C.S., Chryssoulis, S.L. and Ewing, R.C., 2005. Solubility of gold in arsenian pyrite. *Geochimica and Cosmochimica Acta*, 69(6): 2781–2796. <https://doi.org/10.1016/j.gca.2005.01.011>
- Scott, S.D., 1983. Chemical behaviour of sphalerite and arsenopyrite in hydrothermal and metamorphic environments. *Mineralogical Magazine*, 47(5): 427–435. <https://doi.org/10.1180/minmag.1983.047.345.03>
- Su, W.C., Zhang, H.T., Hu, R.Z., Ge, X., Xia, B., Chen, Y.Y. and Zhu, C., 2011. Mineralogy and geochemistry of gold-bearing arsenian pyrite from the Shuiyindong Carlin-type gold deposit, Guizhou, China: Implications for gold depositional processes. *Mineralium Deposita*, 47(3): 653–662. <https://doi.org/10.1007/s00126-011-0328-9>
- Simon, G., Kesler, S.E. and Chryssoulis, S., 1999a. Geochemistry and textures of gold-bearing arsenian pyrite, Twin Creeks, Nevada: implications for deposition of gold in Carlin-type deposits. *Economic Geology*, 94(4): 405–422. <https://doi.org/10.2113/gsecongeo.94.3.405>
- Simon, G., Huang, H., Penner-Hahn, J.E., Kesler, S.E. and Kao, L., 1999b. Oxidation state of gold and arsenic in gold-bearing arsenian pyrite. *American Mineralogist*, 84(5): 1071–1079. <https://doi.org/10.2138/am-1999-7-809>
- Stöcklin, J., 1968. Structural history and tectonics of Iran—a review. *Bulletin of the Southwestern Association of Petroleum Geologists*, 52(3): 1223–1258. <https://doi.org/10.12691/ajmm-2-3-1>
- Tassara, S., González-Jiménez, J.M., Reich, M., Schilling, M.E., Morata, D., Begg, G. and Corgne, A., 2017. Plume-subduction interaction forms large auriferous provinces. *Nature Communications*, 8(4): 843–847. <https://doi.org/10.1038/s41467-017-00821-z>
- Wedepohl, K.H., 1995. The composition of the continental crust. *Geochimica and Cosmochimica Acta*, 59(3): 217–239. [https://doi.org/10.1016/0016-7037\(95\)00038-2](https://doi.org/10.1016/0016-7037(95)00038-2)
- Wei, C., Huang, Z., Yan, Z., Hu, Y. and Ye, L., 2018. Trace element contents in sphalerite from the Nayongzhi Zn-Pb deposit, northwestern Guizhou, China: insights into incorporation mechanisms, metallogenic temperature and ore genesis. *Minerals*, 8(2): 490–498. <https://doi.org/10.3390/min8110490>
- Wu, Y.F., Fougerouse, D., Evans, K., Reddy, S.M., Saxe, D.W., Guagliardo, P. and Li, J.W., 2019. Gold, arsenic, and copper zoning in pyrite: A record of fluid chemistry and growth kinetics. *Geology*, 47(4): 641–644. <https://doi.org/10.1130/G46114.1>
- Wu, Y., Hagni, R.D. and Paarlberg, N., 1994. Silver distribution in iron sulphides at the Buick and Brushy Creek Mines, Viburnum Trend, southeast Missouri. *Economic Geology*, 56(3): 577–587. <https://doi.org/10.5382/SP.04.44>
- Xie, Z., Xia, Y., Cline, J.S., Koenig, A., Wei, D., Tan, Q. and Wang, Z., 2018. Are there Carlin-type gold deposits in China? A comparison of the Guizhou, China, deposits with Nevada, USA, deposits. *Economic Geology*, 20(5): 187–233. <https://doi.org/10.5382/rev.20.06>
- Xing, Y., Brugger, J., Tomkins, A. and Shvarov, Y., 2019. Arsenic evolution as a tool for understanding formation of pyritic gold ores. *Geology*, 47(4): 335–338. <https://doi.org/10.1130/G46938Y.1>
- Xuexin, S., 1984. Minor elements and ore genesis of the Fankou lead-zinc deposit, China. *Mineralium Deposita*, 19(7): 95–104. <https://doi.org/10.1007/BF00204667>

COPYRIGHTS

©2021 The author(s). This is an open access article distributed under the terms of the Creative Commons Attribution (CC BY 4.0), which permits unrestricted use, distribution, and reproduction in any medium, as long as the original authors and source are cited. No permission is required from the authors or the publishers.

**How to cite this article**

Bigdeli, R., Tale Fazel, E. and Maanijou, M., 2021. Mineralization, ore mineral chemistry and sulfur stable isotopes at the Chaldaq gold prospect (north Takab): evidence for gold formation mechanism. Journal of Economic Geology, 13(1): 85–111. (in Persian with English abstract)
<https://dx.doi.org/10.22067/econg.v13i1.83781>



Mineralization, ore mineral chemistry and sulfur stable isotopes at the Chaldaq gold prospect (north Takab): evidence for gold formation mechanism

Roya Bigdeli, Ebrahim Tale Fazel* and Mohammad Maanijou

Department of Geology, Faculty of Basic Sciences, Bu-Ali Sina University, Hamedan, Iran

Submitted: Oct. 12, 2019

Accepted: June 16, 2020

Keywords: Arsenian pyrite, Ore mineral chemistry, Sulfur isotope, Gold, Chaldaq prospect, Zarshuran

Introduction

The Takab-Angouran ore field, one of the Iran's largest gold districts, is located in northwestern Zagros and belongs to the northwestern part of the Sanandaj-Sirjan Zone. This area has a dominant NW-SE structural trend and is spatially associated with the Sanandaj-Sirjan zone. Its geological and petrological characteristics seem to have closer affinities to the Central Iran zone. There are no chronological data on the ultramafic rocks or associated amphibolites, granulites and calc-silicates of the Takab area and the petrogenesis of the ultramafic rocks and their tectonic relations with other parts of the metamorphic complex are unclear. A Neoproterozoic-Lower Cambrian age for the protoliths of Takab-Angouran ore field seems likely, in view of comparable lithology, stratigraphy and geochronology with the Central Iran zone.

The Chaldaq gold prospect is located in the Takab-Angouran ore field, NW Iran, within Iman Khan NW-trending anticline. The rock units at the mining area mainly consist of Precambrian sequence (Iman Khan schist, Chaldaq limestone and Zarshuran black shale) overlain by Cambro-Ordovician limestone and Oligo-Miocene Qom Formations (Mehrabi et al., 1999). The gold mineralization in the Chaldaq prospect is hosted by Chaldaq carbonaceous sedimentary rocks. Two major sets of faults which were recognized by Mehrabi et al., 1999 at the Zarshuran mine are: 1) northwest (310–325) and 2) southwest (255–265). Herein, we report on the textural, paragenetic relationships, mineral chemistry and sulfur

isotopes of the Chaldaq prospect. This study is focused on: (1) documenting the chemical composition of different sulfides, (2) determining the chemical state of gold in iron sulfides, (3) determining the sulfur activity, and (4) source of sulfur.

Materials and methods

About 70 rock samples were collected from various parts of the deposit for determinations of mineralogy, mineral texture, mineral chemistry and sulfur isotope. The polished thin sections were carbon coated and analyzed on a Camera SX100 electron microprobe at the Iranian Mineral Processing Research Center (IMPRC), Karaj. The detection limits for major and minor elements are approximately 0.05 and 0.01 wt.%, respectively. Sulfur isotope analyses were conducted on 0.05 g of a 200-mesh sized of pyrite and realgar which were handpicked and checked under a binocular microscope to ensure purity of >98%. Each sample was reacted with Cu₂O powder to produce SO₂. The SO₂ gas was collected and purified, and followed by S isotopic analysis using a MAT252 mass spectrometer at stable isotope laboratory of the University of Arizona. The $\delta^{34}\text{S}$ values were reported relative to Vienna Cañon Diablo Troilite (VCDT), and analytical precision is $\pm 0.2\text{‰}$.

Results and discussion

Based on field and petrographic observations, three mineralization stages including diagenetic, hydrothermal (early-ore, main-ore and late-ore substages), and supergene stages were identified at

*Corresponding author Email: tale.fazel@gmail.com

the Chaldaq deposit. At least six types of pyrite and arsenian pyrite were recognized at the Chaldaq deposit. On the basis of EPMA results, gold with 10 to 80 ppm Au content occurs as solid solution (Au^+) in arsenian pyrite $[(\text{Fe}^{2+}\text{As}^{3+})\text{S}_2\text{Au}_2\text{S}^0]$. Various studies have documented that gold in the primary ores of sediment-hosted gold deposits is largely hosted by arsenian pyrite, and that gold in occurs as a substituting cation in the form of solid solution (Au^+) and/or as nanoparticles of native gold (Au^0) (Cook and Chryssoulis, 1990; Fleet and Mumin, 1997; Reich et al., 2005). Au^- and Au^{3+} have also been suggested to occur as solid solution in pyrite (Arehart et al., 1993; Li et al., 2003). The understanding of the chemical state of gold in iron sulfides is important for deep understanding of gold depositional mechanism in sediment-hosted gold deposits. Main-ore substage sulfide minerals has $\delta^{34}\text{S}$ values ranging from 3.5 to 6.5 ‰ (avg. 5‰, n=6). The Fe content of sphalerites from the main-ore indicates that sphalerite precipitated from relatively low $f\text{S}_2$ fluid. Based on all evidence, it can be said that sulfur mineralization of the Chaldaq prospect has been formed by the performance of oxidized hydrothermal fluid on organic-bearing carbonaceous host rocks (at the Chaldaq unit) and the systematic subtraction of H_2S reductive species from that environment. Considering the low temperature (<250 ° C), reducing condition (Log/S_2 between -14 to -16) and the acidic to neutral pH (presence of kaolinite and illite) for the main-ore stage of hydrothermal mineralization in the Chaldaq prospect, probably the major contribution of sulfur is in the form of H_2S .

References

- Arehart, G.B., Chryssoulis S.L. and Kesler, S.E., 1993. Gold and arsenic in iron sulfides from sediment-hosted disseminated gold deposits: implications for depositional processes. *Economic Geology*, 88(3): 171–185.
<https://doi.org/10.2113/gsecongeo.88.1.171>
- Cook, N.J. and Chryssoulis S.L., 1990. Concentrations of invisible gold in the common sulfides. *Canadian Mineralogist*, 28(3): 1–16.
<https://doi.org/10.1007/s00126-0140562-z>
- Fleet, M.E. and Mumin, A.H., 1997. Gold-bearing arsenian pyrite and marcasite and arsenopyrite from Carlin trend gold deposits to laboratory synthesis. *American Mineralogist*, 82(3): 182–193.
<https://doi.org/10.2138/am-1997-1-220>
- Li, J.L., Qi, F. and Xu, Q.S., 2003. A negatively charged species of gold in minerals—further study of chemically bound gold in arsenopyrite and arsenian pyrite. *Neues Jahrbuch für Mineralogie-Abhandlungen*, 5(2): 193–214.
<https://doi.org/10.1127/0028-3649/2003/2003-0193>
- Mehrabi, B., Yardley, B.W.D. and Cann, J.R., 1999. Sediment-hosted, disseminated gold mineralisation at Zarshuran, NW Iran. *Mineralium Deposita*, 34(3): 656–671.
<https://doi.org/10.1007/s001260050227>
- Reich, M., Kesler, S.E., Utsunomiya, S., Palenik, C.S., Chryssoulis, S.L. and Ewing, R.C., 2005. Solubility of gold in arsenian pyrite. *Geochimica and Cosmochimica Acta*, 69(6): 2781–2796.
<https://doi.org/10.1016/j.gca.2005.01.011>